

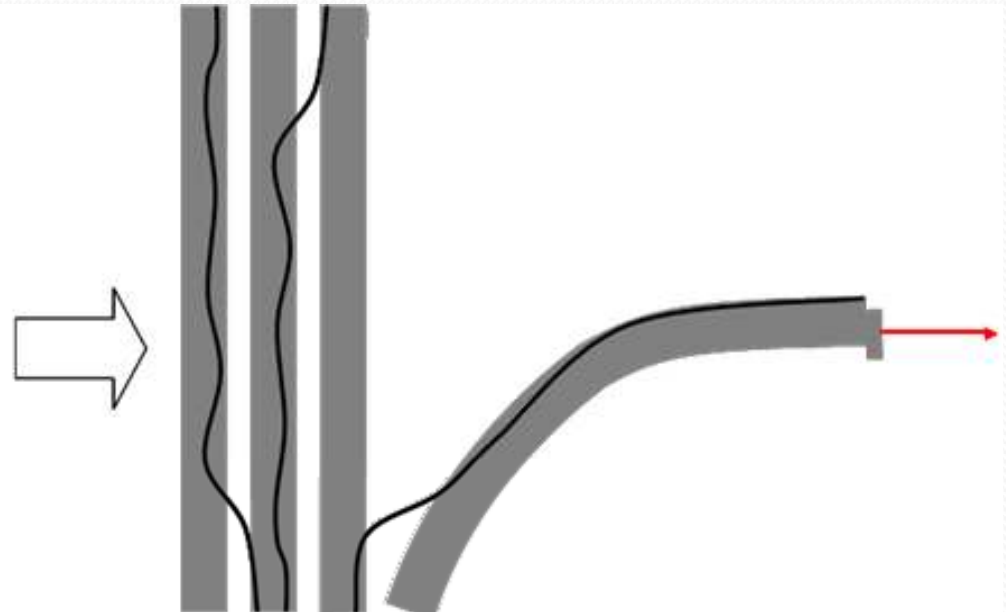
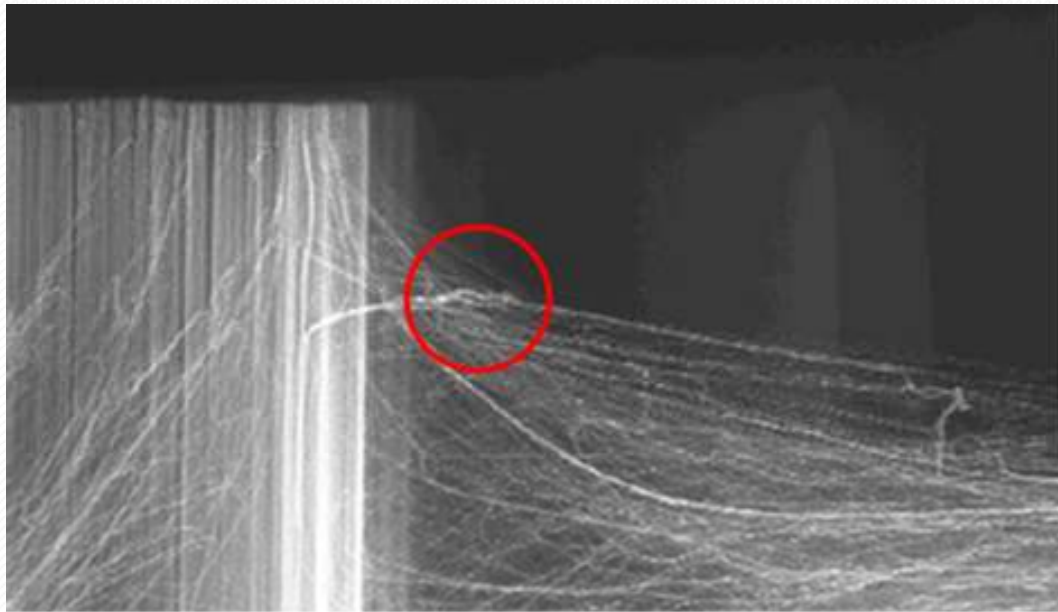
Instituto de Física "Gleb Wataghin"

Curso de verão



Minicurso:

Modelagem de materiais nanoestruturados com *Física Básica*



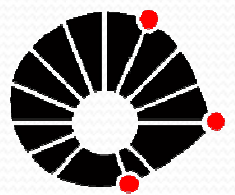
DFA

GSONM

Prof. Dr. Alexandre Fontes da Fonseca – DFA – IFGW

afonseca@ifi.unicamp.br

<http://www.ifi.unicamp.br/~afonseca/>



UNICAMP

1. Introdução

2. Florestas de Nanotubos Helicoidais

3. Formação de Fios de Nanotubos de Carbono

4. Comentários

5. Idéias e projetos futuros ...

Introdução



**David J. Srolovitz, University
of Pennsylvania**

Materials Theory Award Talk 2013
“Polycrystal Microstructures At-Scale”

Como modelar uma vaca?



Por onde começar?

Como um bom **físico(a)** ...

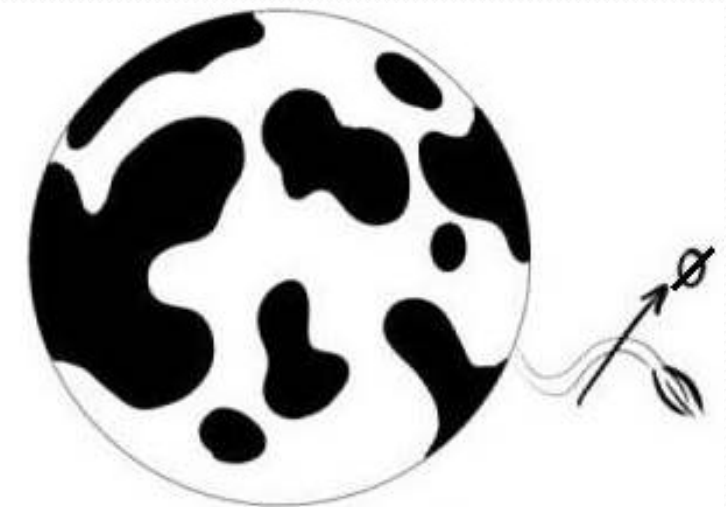
*Assuma uma
vaca esférica
no vácuo.*



Se vc quer estudar:



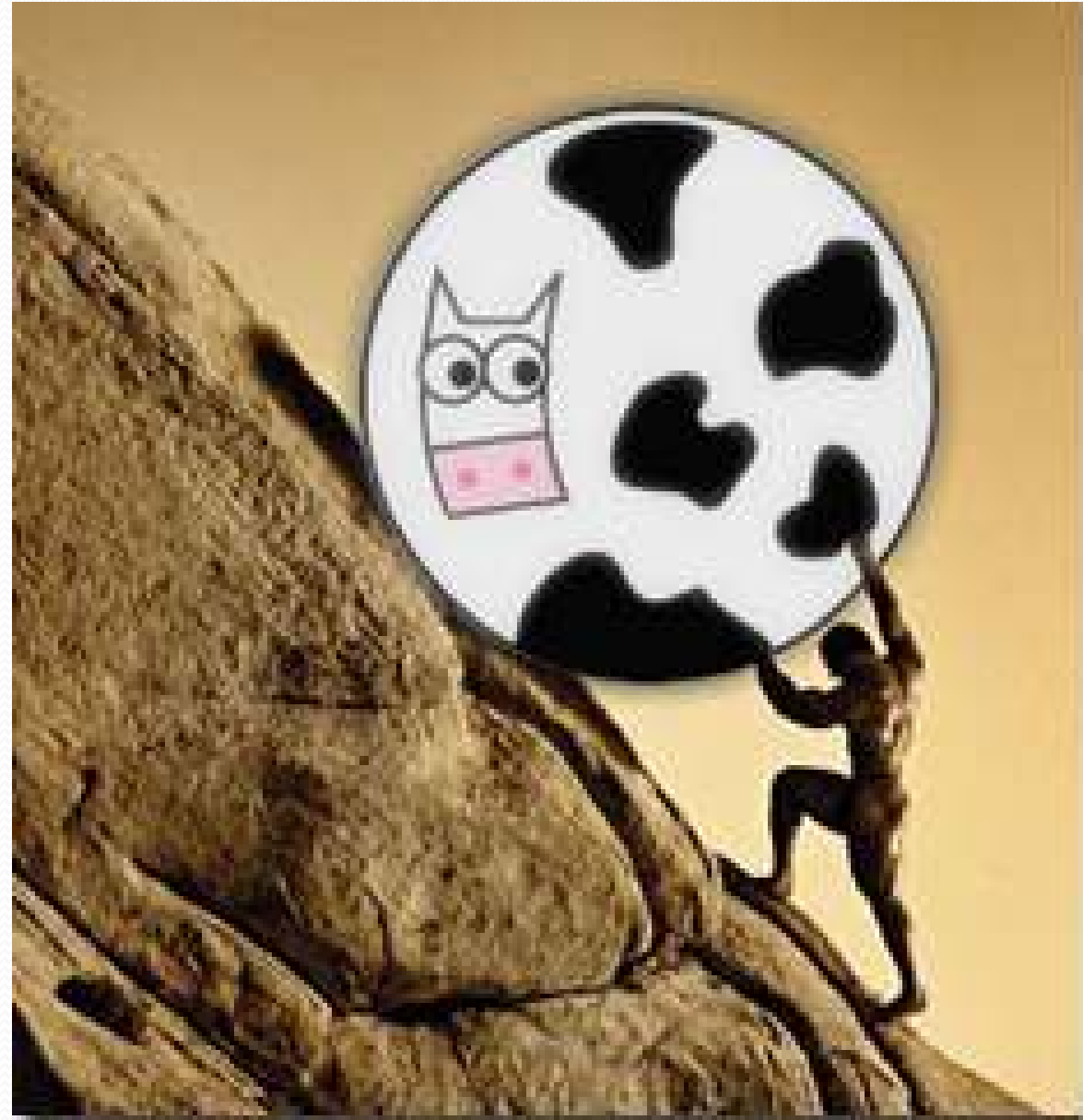
Daí, como um bom **físico(a)** ...



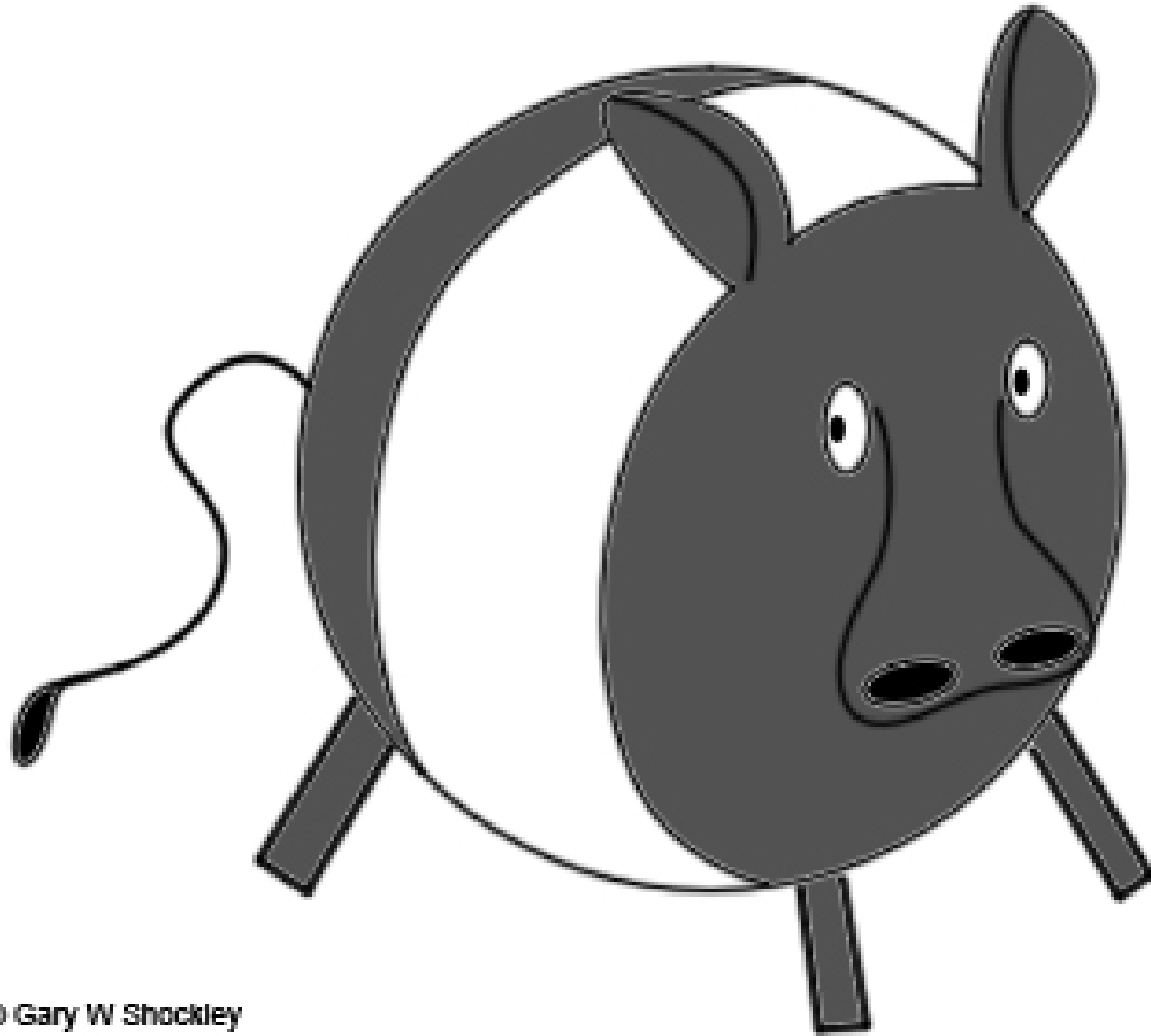
Considere uma vaca
esférica de raio R ...

Supor que vc deseja estudar a interação entre vacas

Vc pode querer estudar a descida ou
Rolagem de uma vaca morro abaixo...

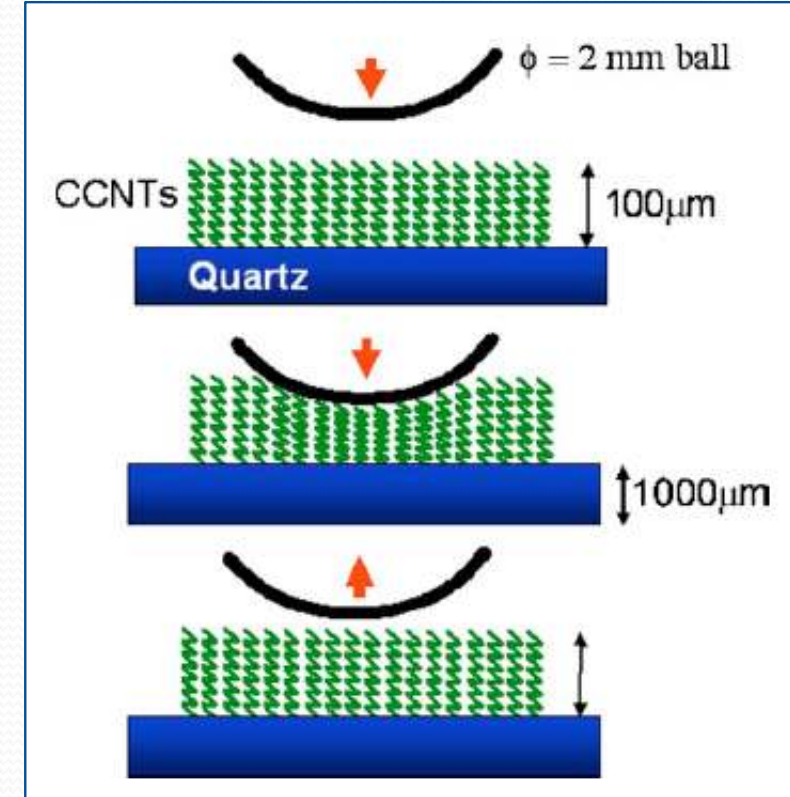
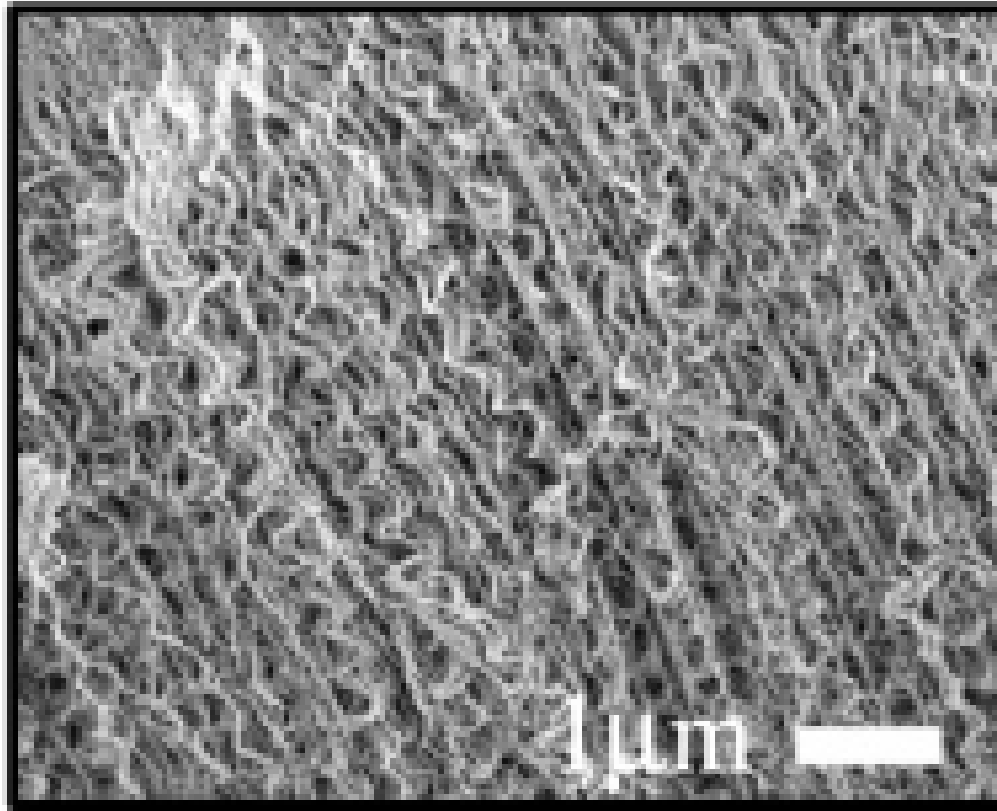


Aí, como um bom **físico(a)** ... vc descobre
que precisa melhorar o modelo...



Modelagem de nanoestruturas com Física Básica

Florestas de Nanotubos Helicoidais



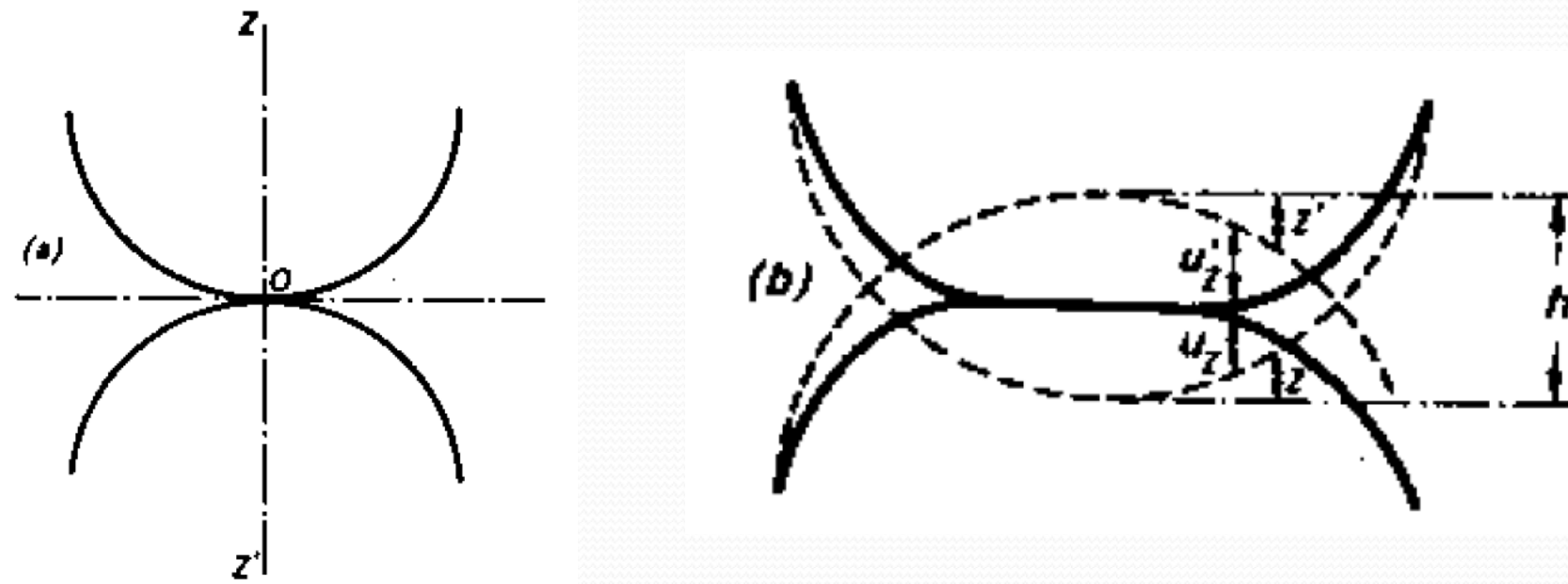
Daraio's result:

$$F \propto \delta^{2.2}$$

Hertz theory of
contact:

$$F \propto \delta^{\frac{3}{2}}$$

Teoria de Hertz (1882):

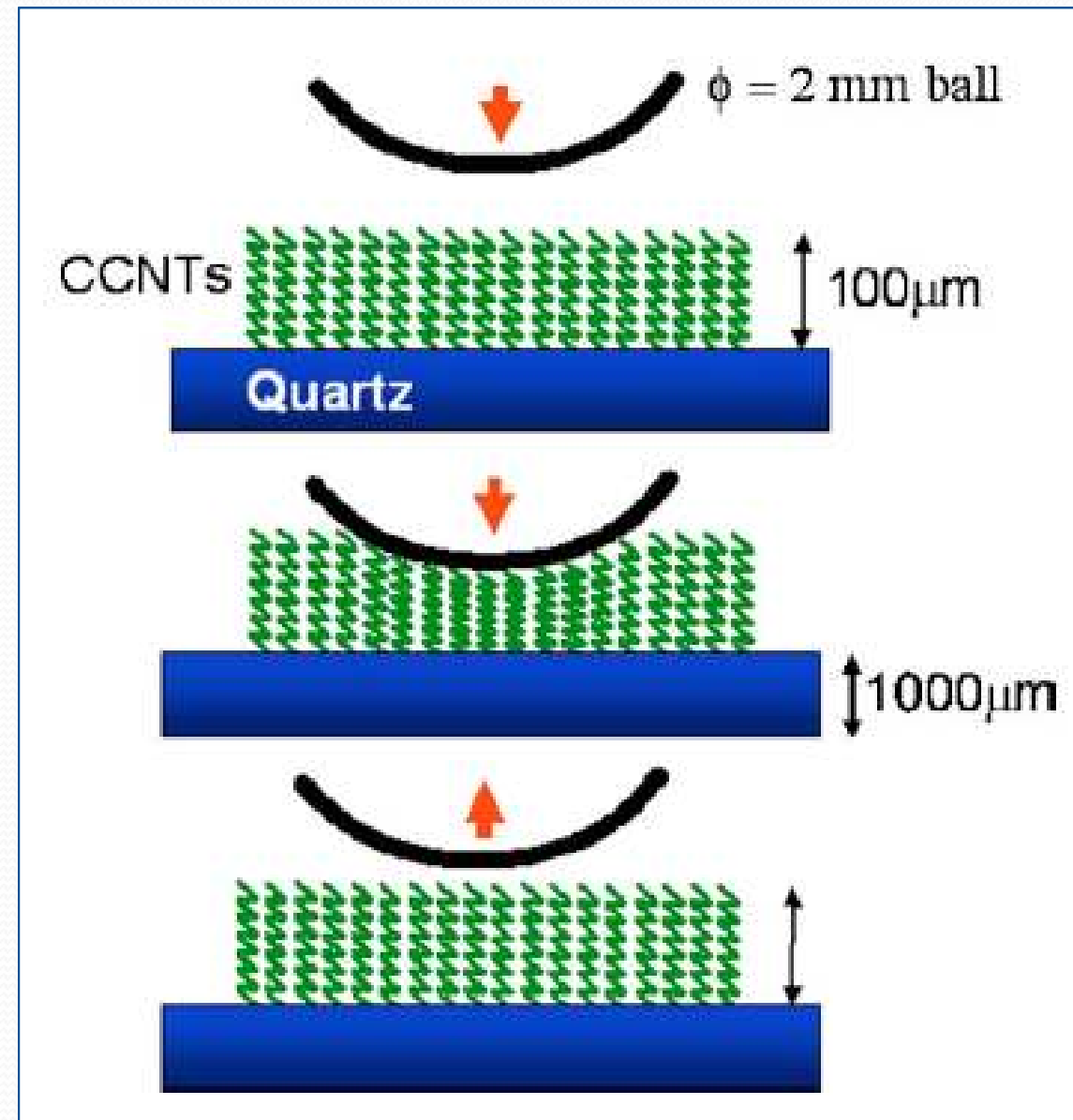


Hertz theory of
contact:

$$F \propto \delta^{\frac{3}{2}}$$

Modelagem de nanoestruturas com Física Básica

Florestas de Nanotubos Helicoidais



Daí, como um bom físico(a) ...

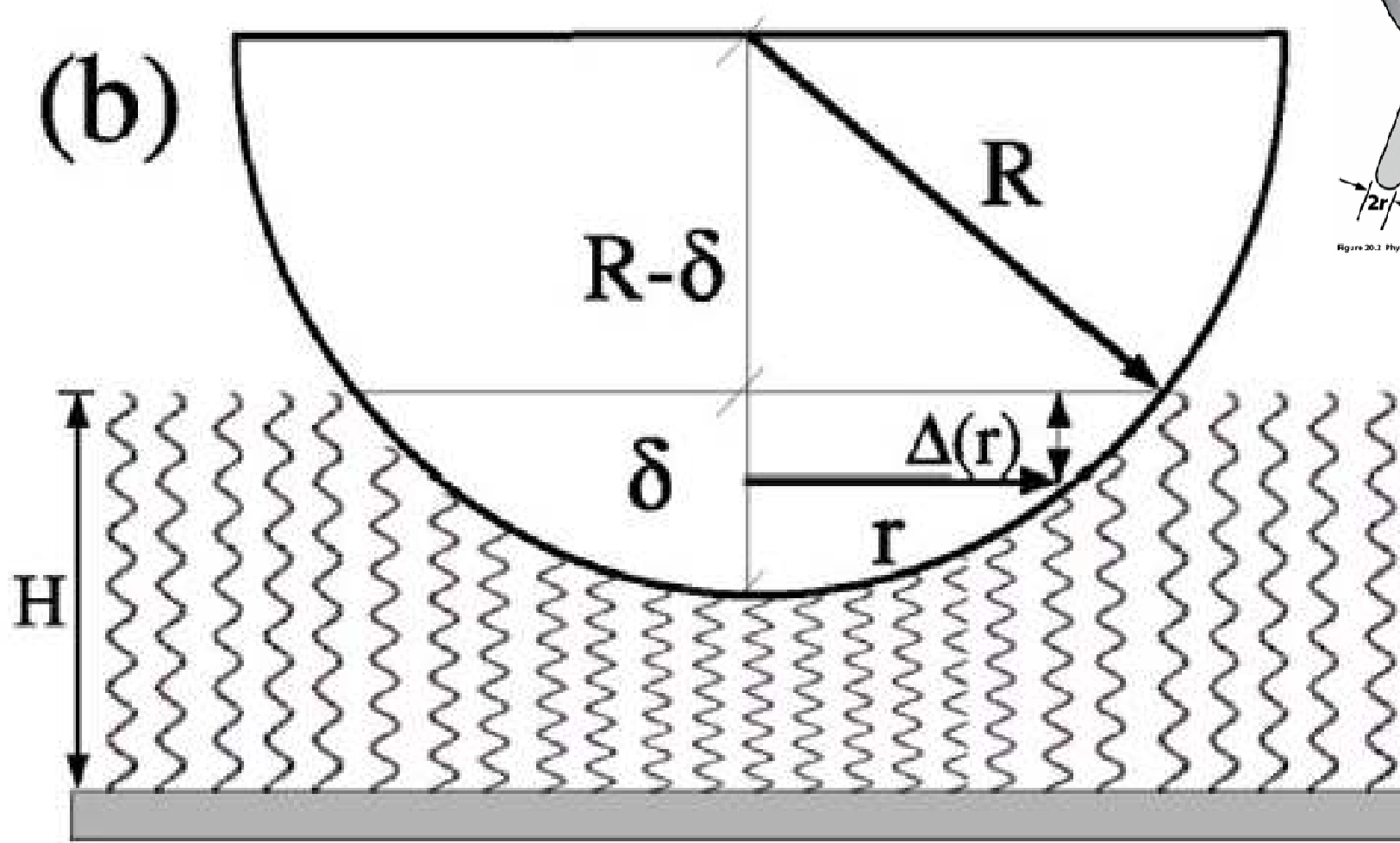
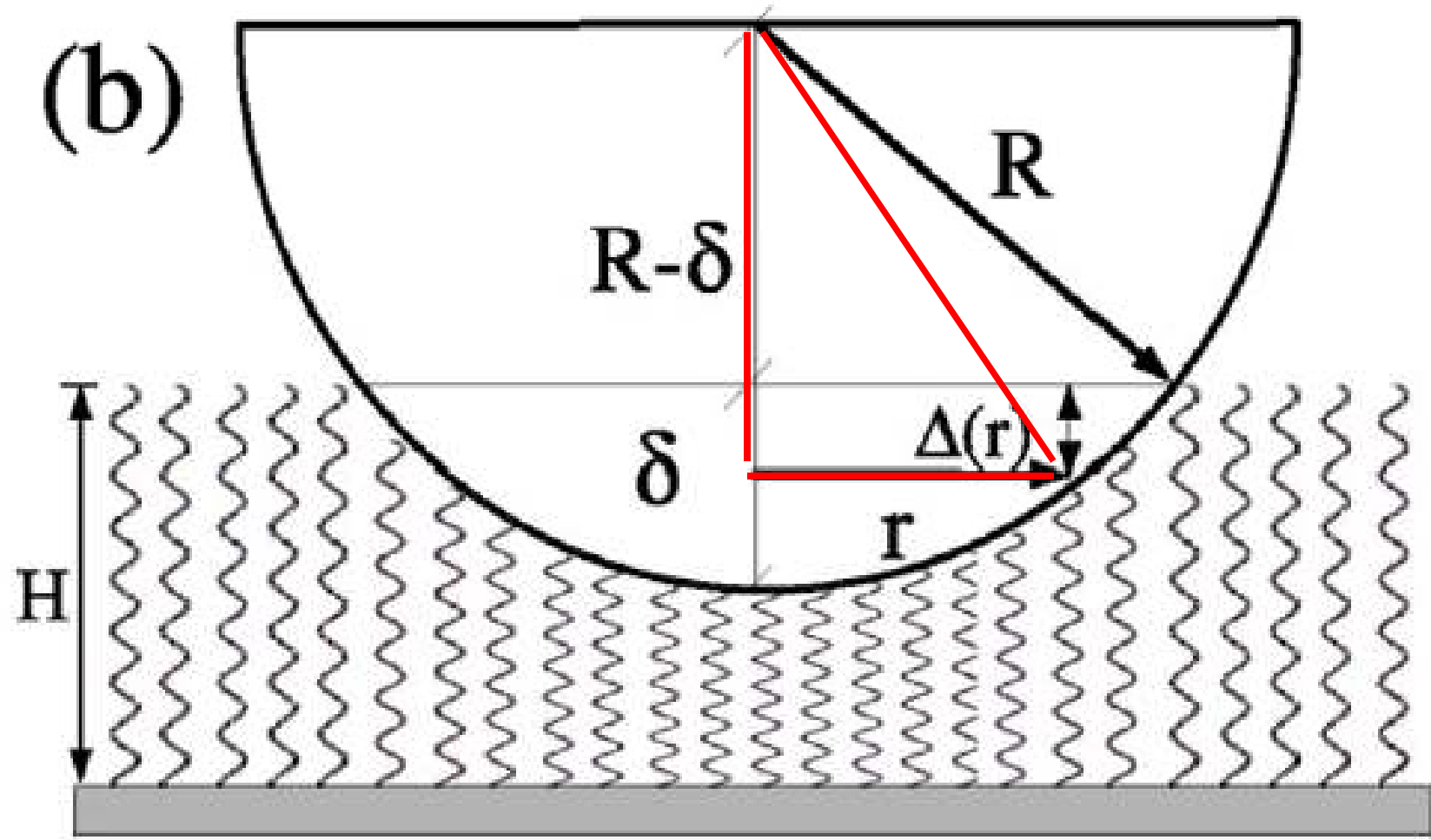


Figure 20.2 Physical Biology of the Cell (© Garland Science 2009)

Modelagem de nanoestruturas com Física Básica

Florestas de Nanotubos Helicoidais

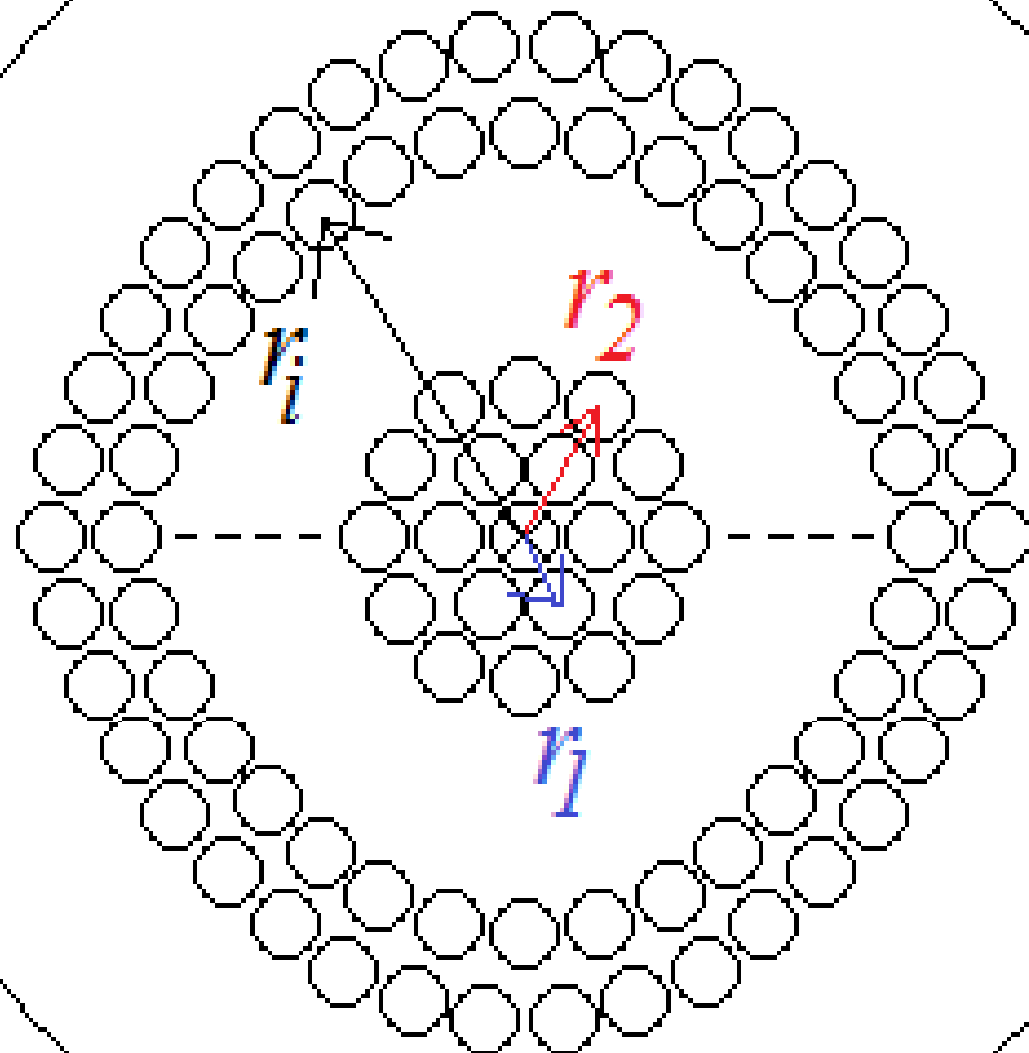


$$F = \sum k \Delta(r)$$

$$\Delta(r) = \sqrt{R^2 - r^2} - (R - \delta)$$

Modelagem de nanoestruturas com Física Básica

Florestas de Nanotubos Helicoidais

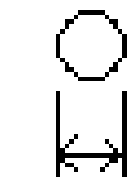


$$r_i = 2a * i$$

$$n_i \approx \frac{2\pi r_i}{2a}$$

$$n_i \approx 2\pi * i$$

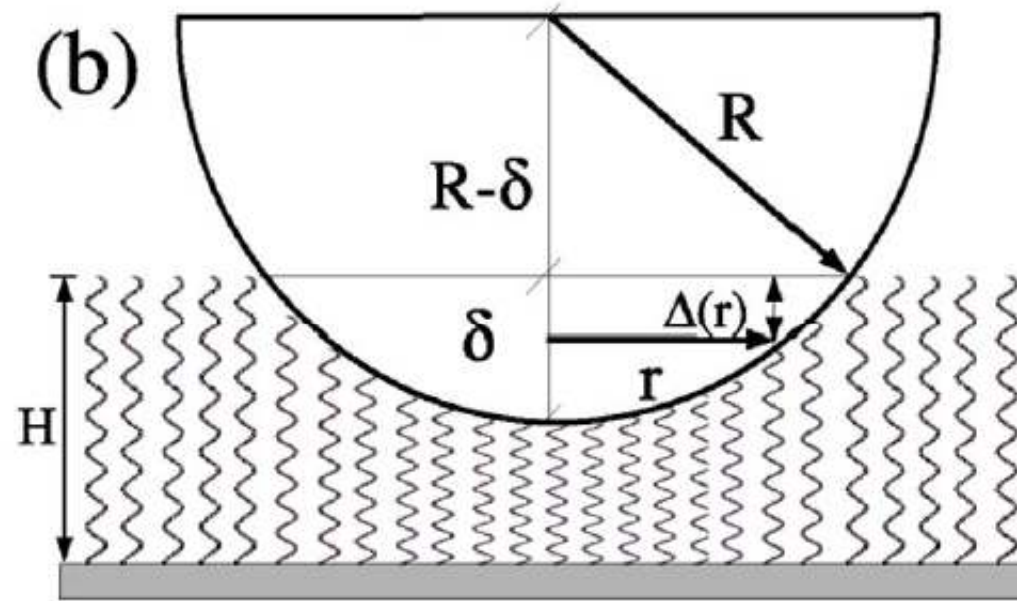
$$n_0 = 1$$



$2a$

Modelagem de nanoestruturas com Física Básica

Florestas de Nanotubos Helicoidais



$$F = k \sum_{i=0}^M n_i \Delta(r_i) \quad M = \frac{\sqrt{2R\delta - \delta^2}}{2a}$$

$$\Delta(r_M) = 0$$

$$\Delta(r) = \sqrt{R^2 - r^2} - (R - \delta) \quad r_M = 2a * M$$

$$F = k \sum_{i=0}^M n_i \Delta(r_i) \quad M = \frac{\sqrt{2R\delta - \delta^2}}{2a}$$

$$\Delta(r) = \sqrt{R^2 - r^2} - (R - \delta)$$

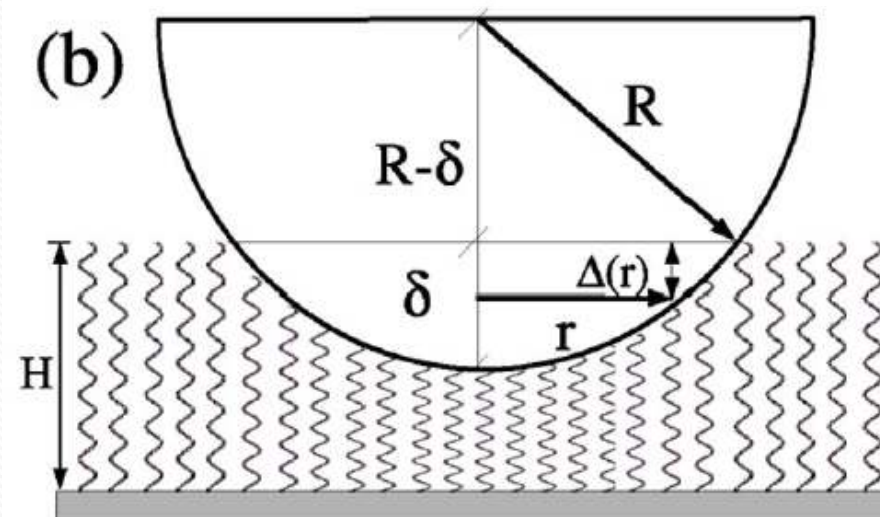
$$r_i = 2a * i$$

$$n_i \approx 2\pi * i$$

 $\mathbf{F} = \mathbf{F}(\delta)$

Daraio's result:

$$F \propto \delta^{2.2}$$



Modelagem de nanoestruturas com Física Básica

Florestas de Nanotubos Helicoidais

$$F = k \sum_{i=0}^M n_i \Delta(r_i) \quad M = \frac{\sqrt{2R\delta - \delta^2}}{2a}$$

$$\Delta(r) = \sqrt{R^2 - r^2} - (R - \delta) \quad \begin{aligned} r_i &= 2a * i \\ n_i &\approx 2\pi * i \end{aligned}$$

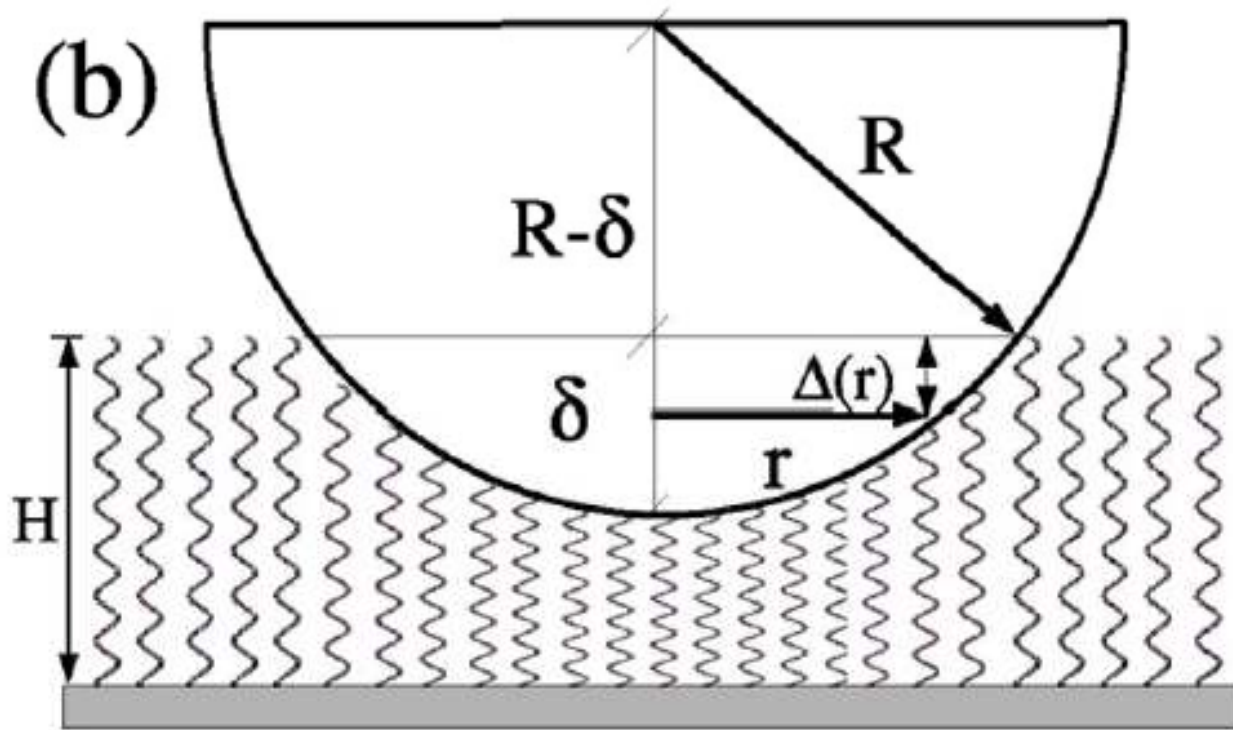
$$F \cong k\delta + 2\pi k \sum_{i=1}^M i(\delta R - 2i^2a^2)$$

onde: $\delta/R \ll 1$

Modelagem de nanoestruturas com Física Básica

Florestas de Nanotubos Helicoidais

(b)



$$R = 1000 \text{ } \mu\text{m}$$

$$\delta = 3 \text{ } \mu\text{m}$$

$$2a = 0.45 \text{ } \mu\text{m}$$

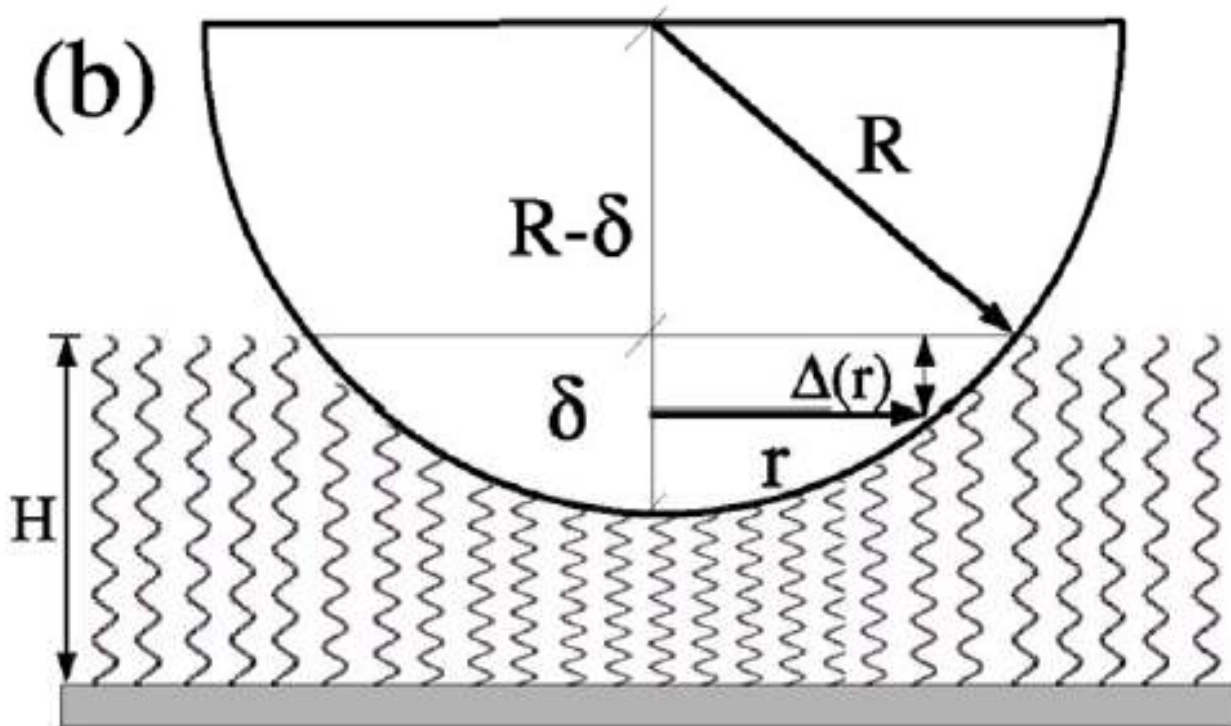


$$F \cong k\delta + 2\pi k \sum_{i=1}^M i(\delta R - 2i^2 a^2)$$

onde:

$$\delta/R \ll 1$$

(b)



Resultado:

$$F = k \frac{\pi R \delta^2}{4a^2}$$

Meu modelo:

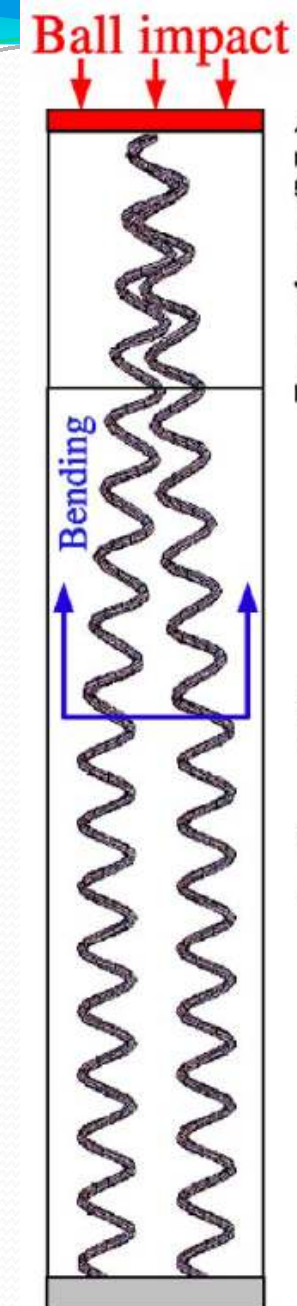
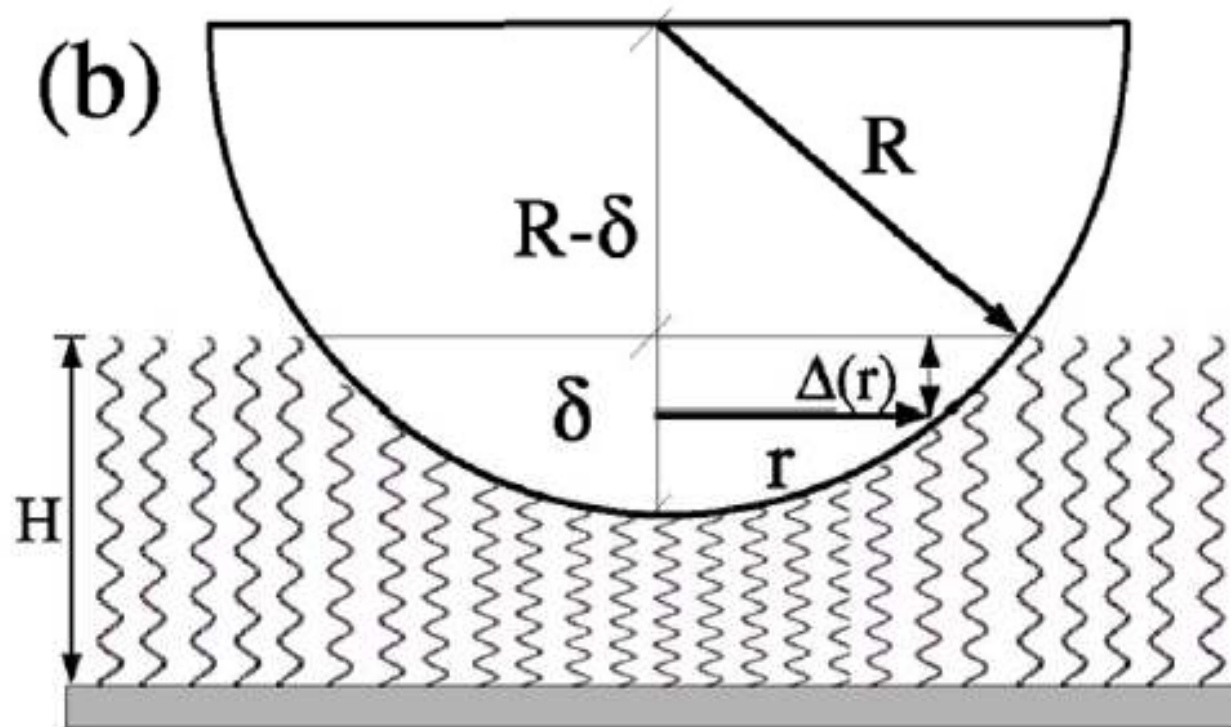
$$F \propto \delta^2$$

Daraio's result:

$$F \propto \delta^{2.2}$$

Hertz theory of
contact:

$$F \propto \delta^{\frac{3}{2}}$$

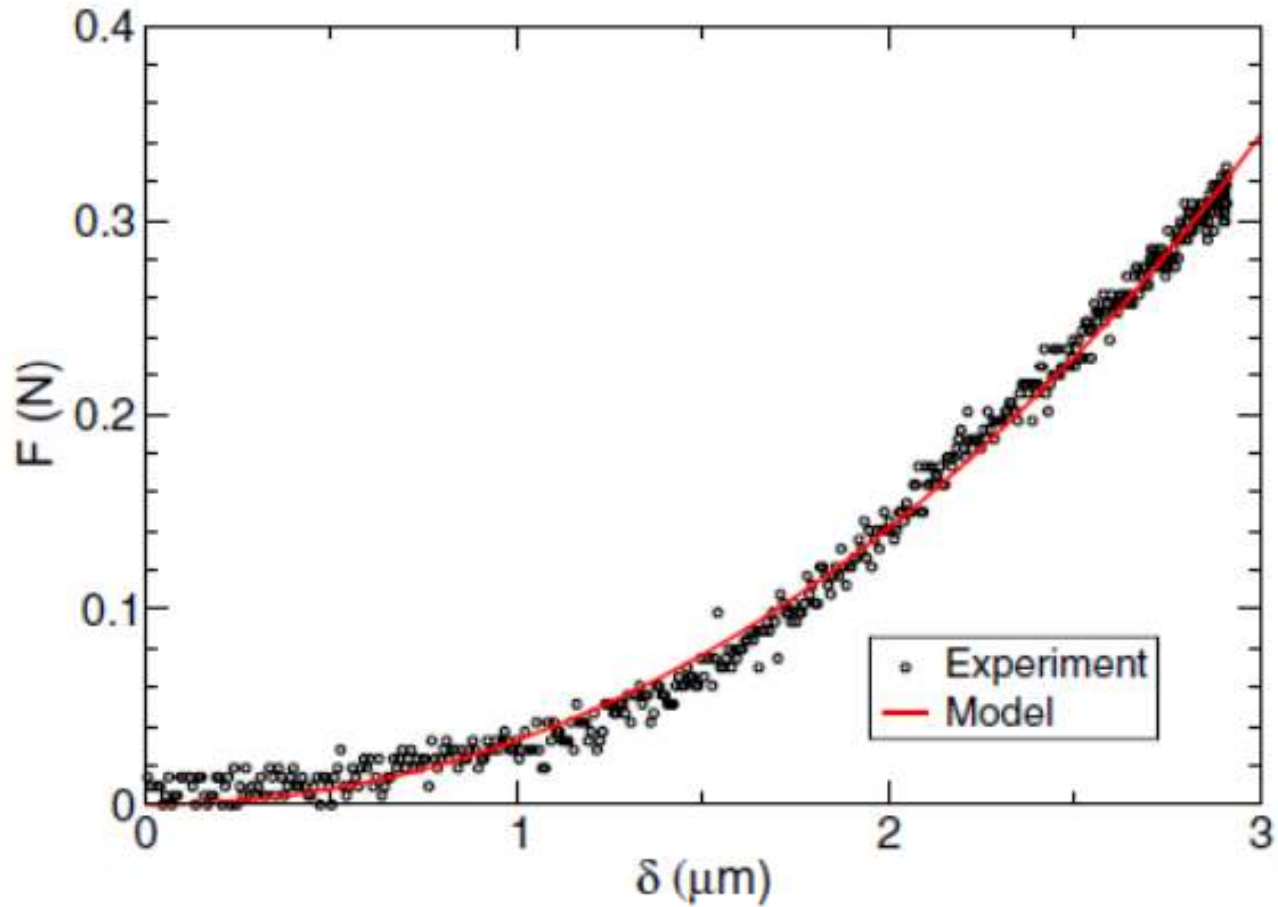


O que faltava?
Incluir
Não-linearidade!

Como?

$$N(\Delta) = N_T - \eta \Delta$$

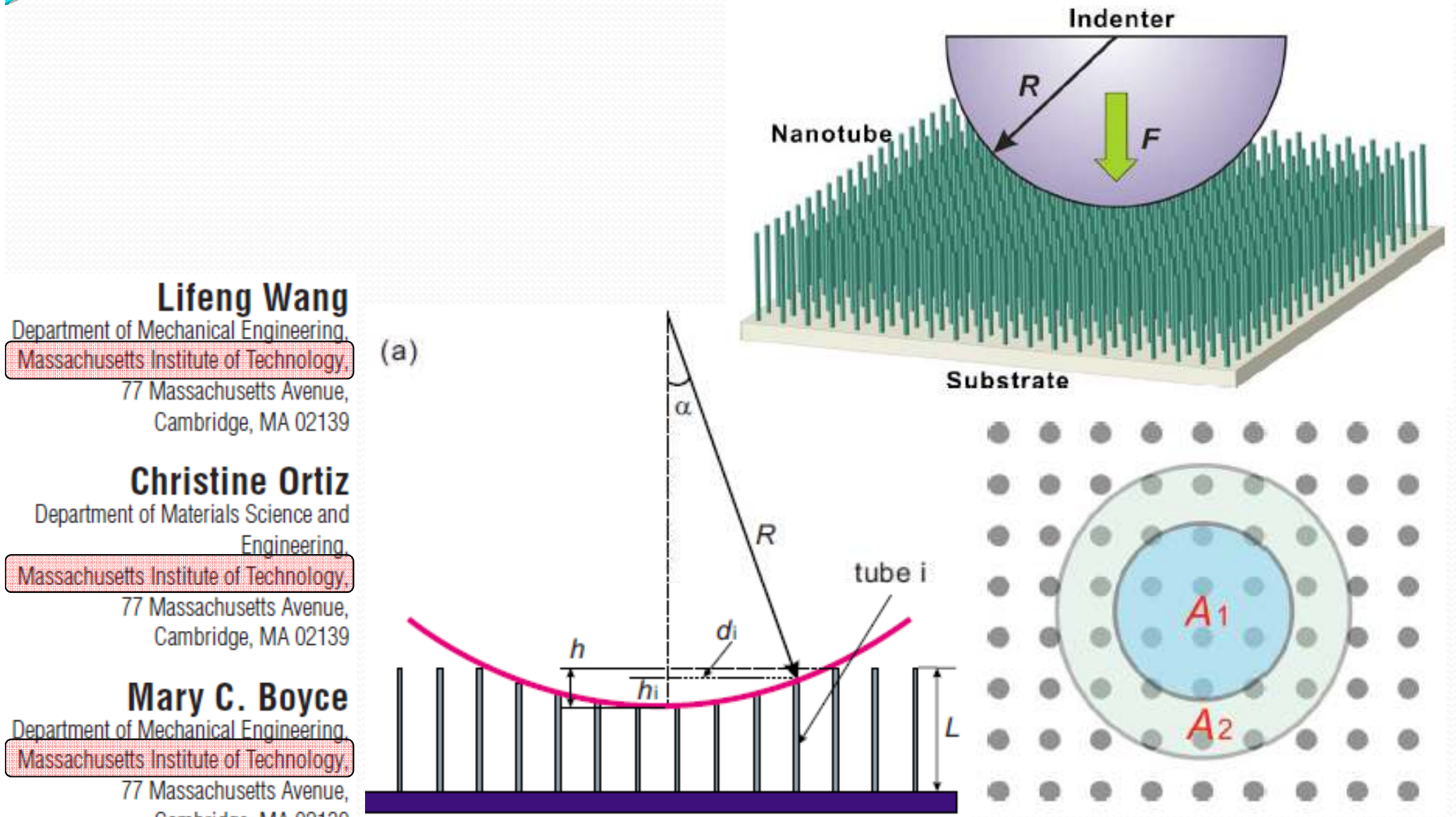
Modelagem de nanoestruturas com Física Básica Florestas de Nanotubos Helicoidais



V. R. Coluci, **A. F. Fonseca**, D. S. Galvao and C. Daraio, *PRL* **100**, 086807 (2008).

$$F = k \frac{\pi R \delta^2}{4a^2[1 - (\eta/N_T)\delta]}$$

Modelagem de nanoestruturas com Física Básica Florestas de Nanotubos Helicoidais



Lifeng Wang

Department of Mechanical Engineering,
Massachusetts Institute of Technology,
77 Massachusetts Avenue,
Cambridge, MA 02139

Christine Ortiz

Department of Materials Science and
Engineering,
Massachusetts Institute of Technology,
77 Massachusetts Avenue,
Cambridge, MA 02139

Mary C. Boyce

Department of Mechanical Engineering,
Massachusetts Institute of Technology,
77 Massachusetts Avenue,
Cambridge, MA 02139

e-mail: mcboyce@mit.edu

Journal of Engineering Materials and Technology JANUARY 2011, Vol. 133 / 011014-1

Modelagem de nanoestruturas com Física Básica

Formação de Fios e de Nanotubos de Carbono



Giant-Stroke, Superelastic Carbon Nanotube Aerogel Muscles

Ali E. Aliev, et al.

Science 323, 1575 (2009);

DOI: 10.1126/science.1168312

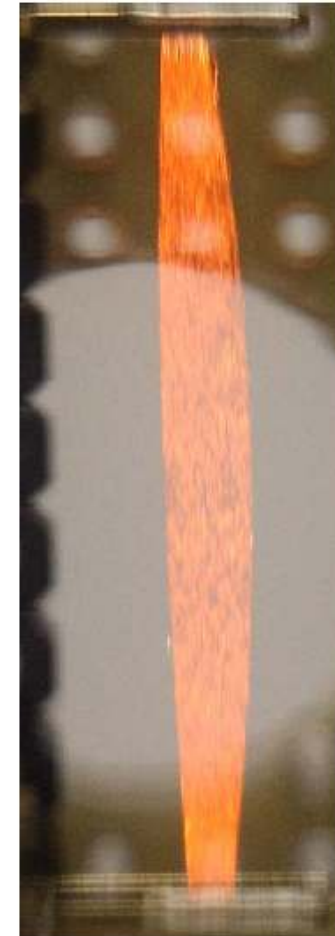
A



B

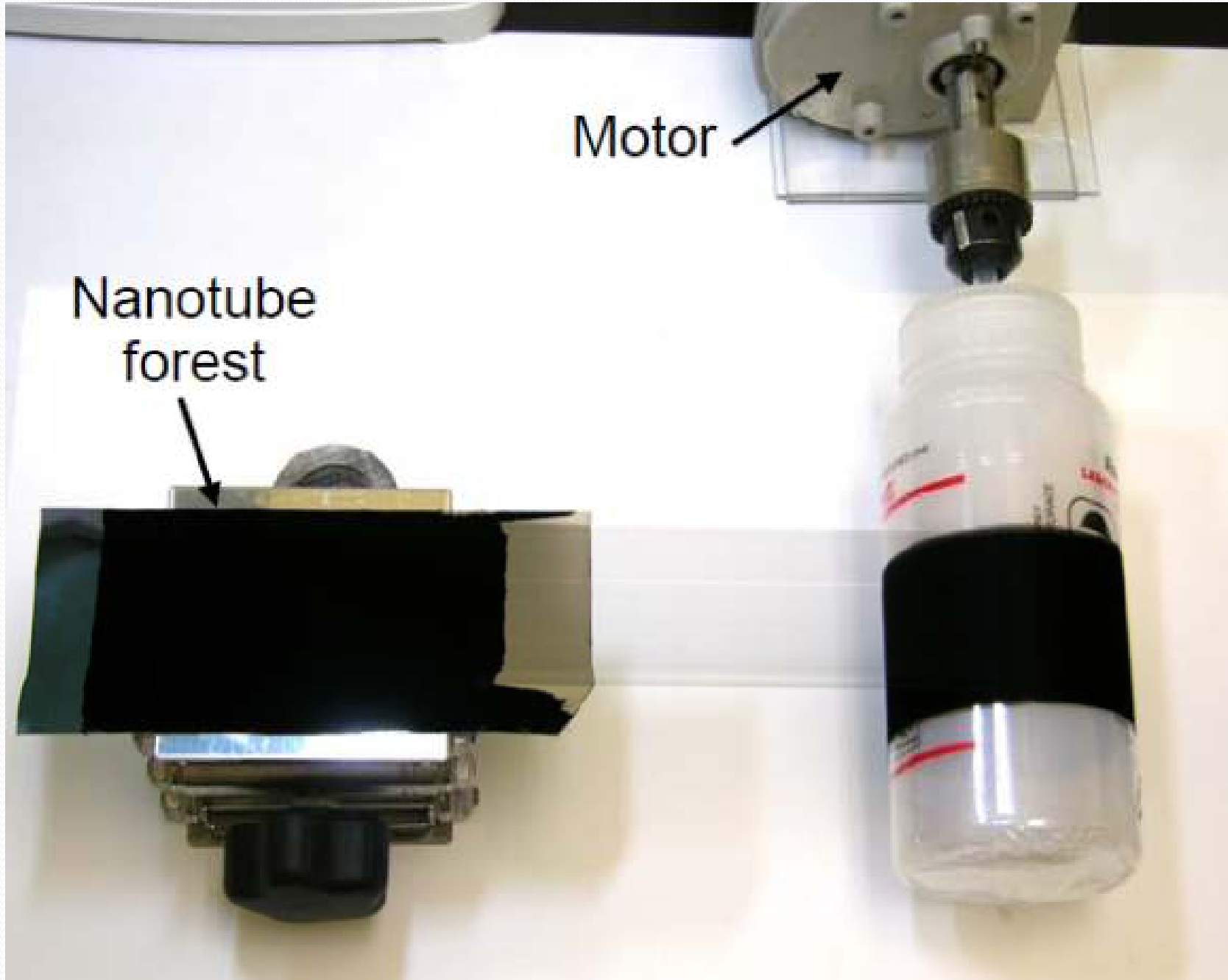


C



Modelagem de nanoestruturas com Física Básica

Formação de Fios e de Nanotubos de Carbono





Science

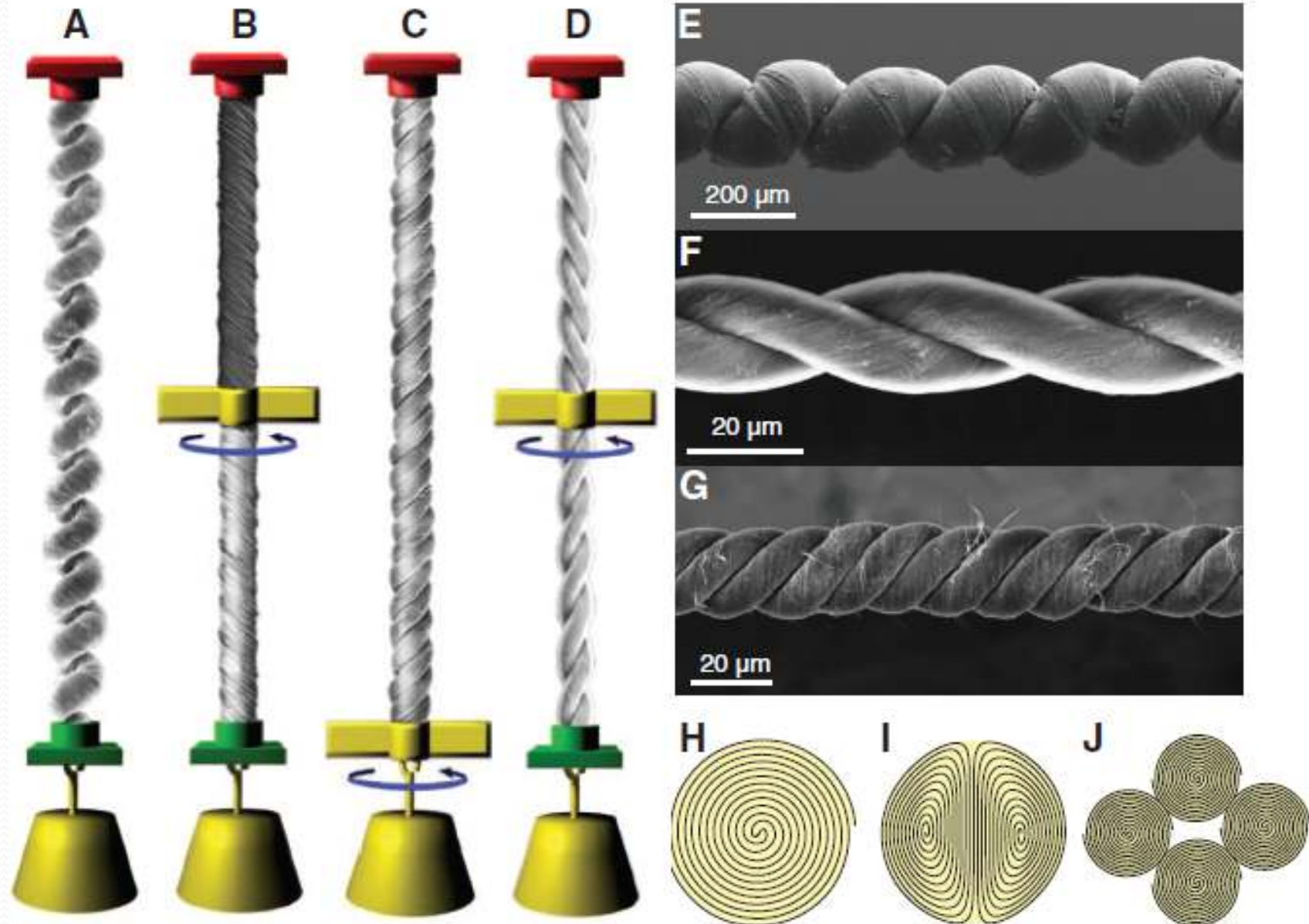
AAAS

Electrically, Chemically, and Photonically Powered Torsional and Tensile Actuation of Hybrid Carbon Nanotube Yarn Muscles

Márcio D. Lima *et al.*

Science 338, 928 (2012);

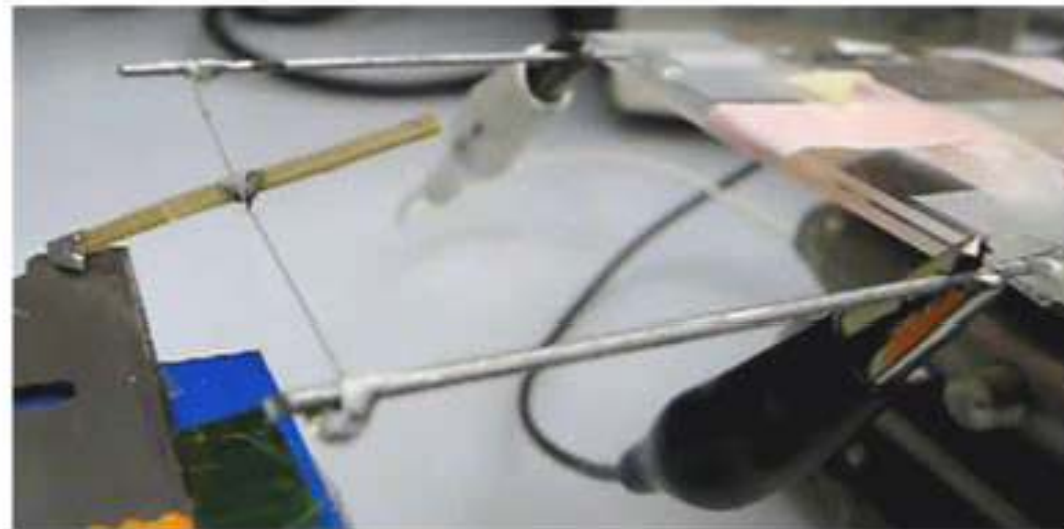
DOI: 10.1126/science.1226762



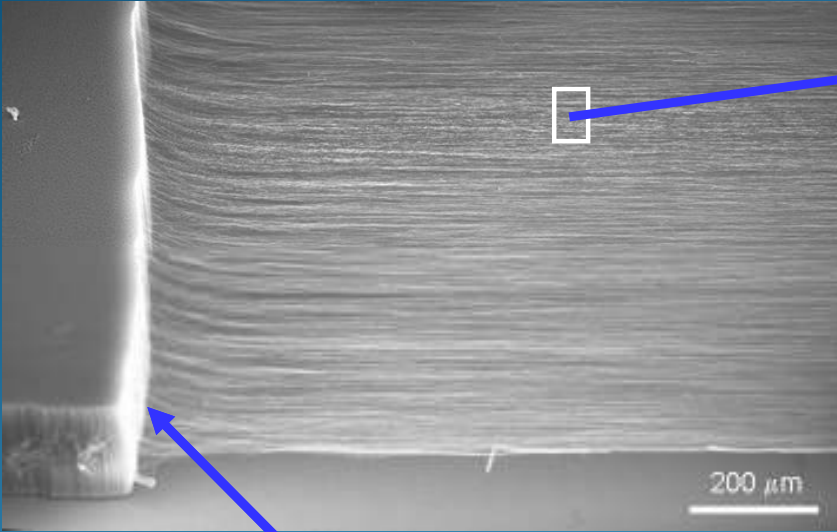


Miniature Greco-Roman style catapult

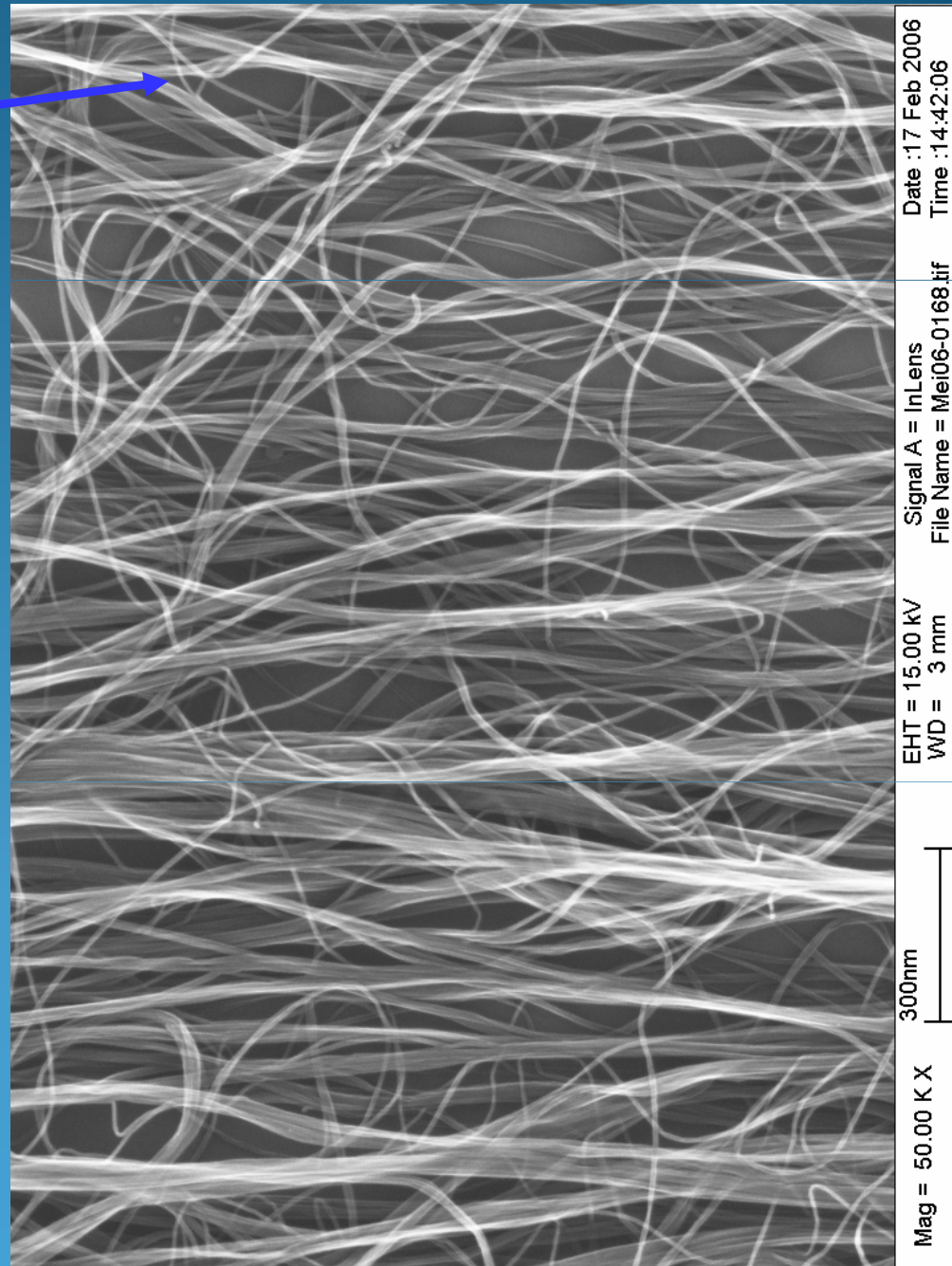
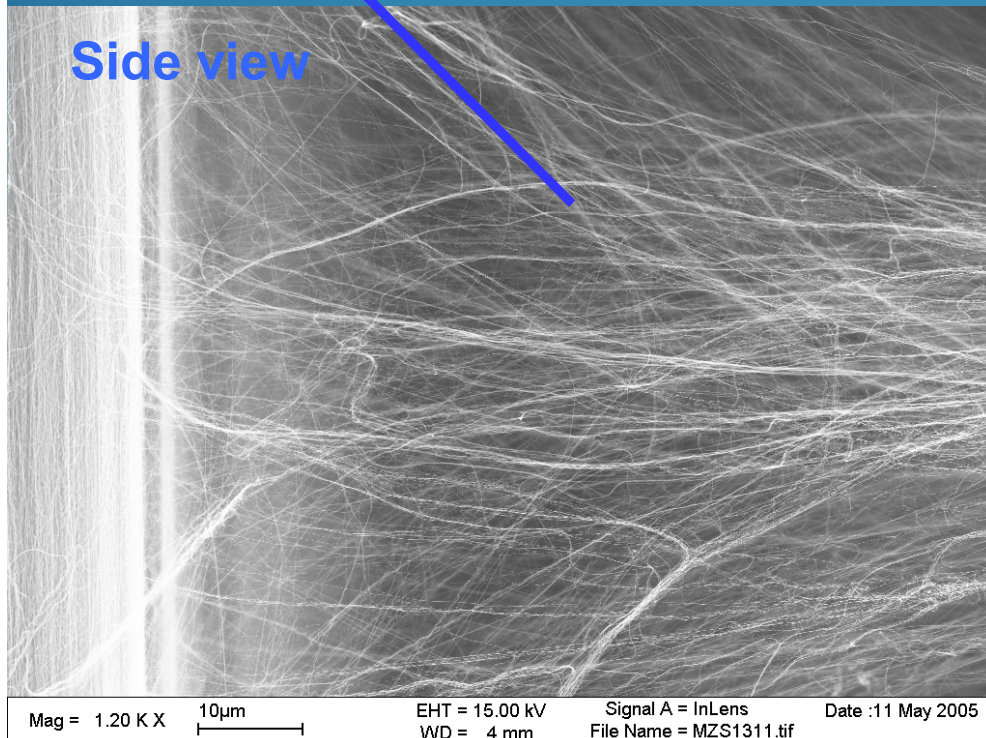
By electrical heating, fully infiltrated heterochiral yarn untwist and the arm of a miniature Greco-Roman style catapult rotates 300° and hurl a projectile.



Fibril branching continues throughout the sheet, thereby making a laterally-extended, inherently interconnected fibril network.



Side view

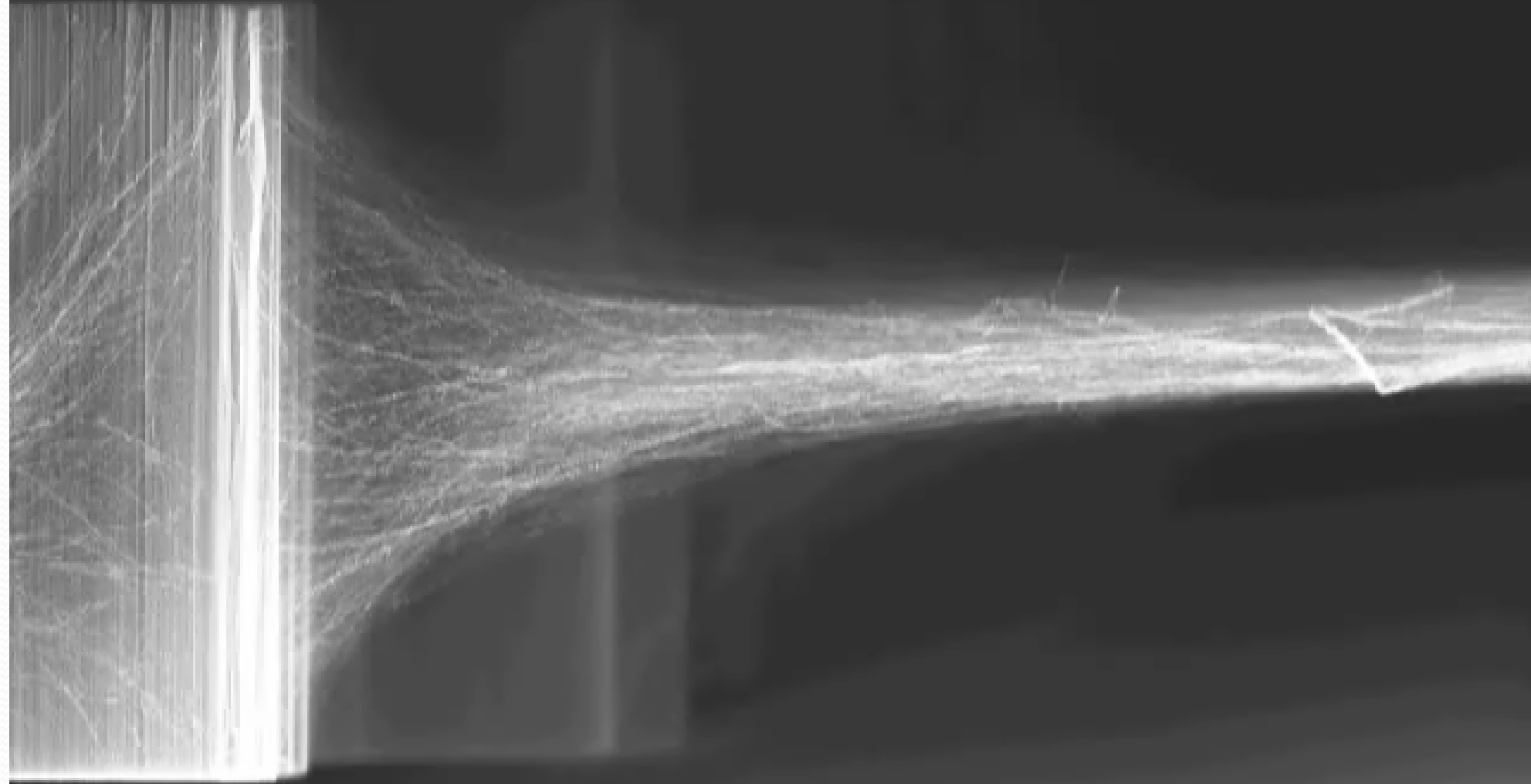




Instituto de Física Gleb Wataghin

Modelagem de nanoestruturas com Física Básica

Formação de Fios e de Nanotubos de Carbono



Mag = 1.00 K X

20µm

EHT = 15.00 kV
WD = 5 mm

Signal A = InLens
File Name = MZS2077.tif

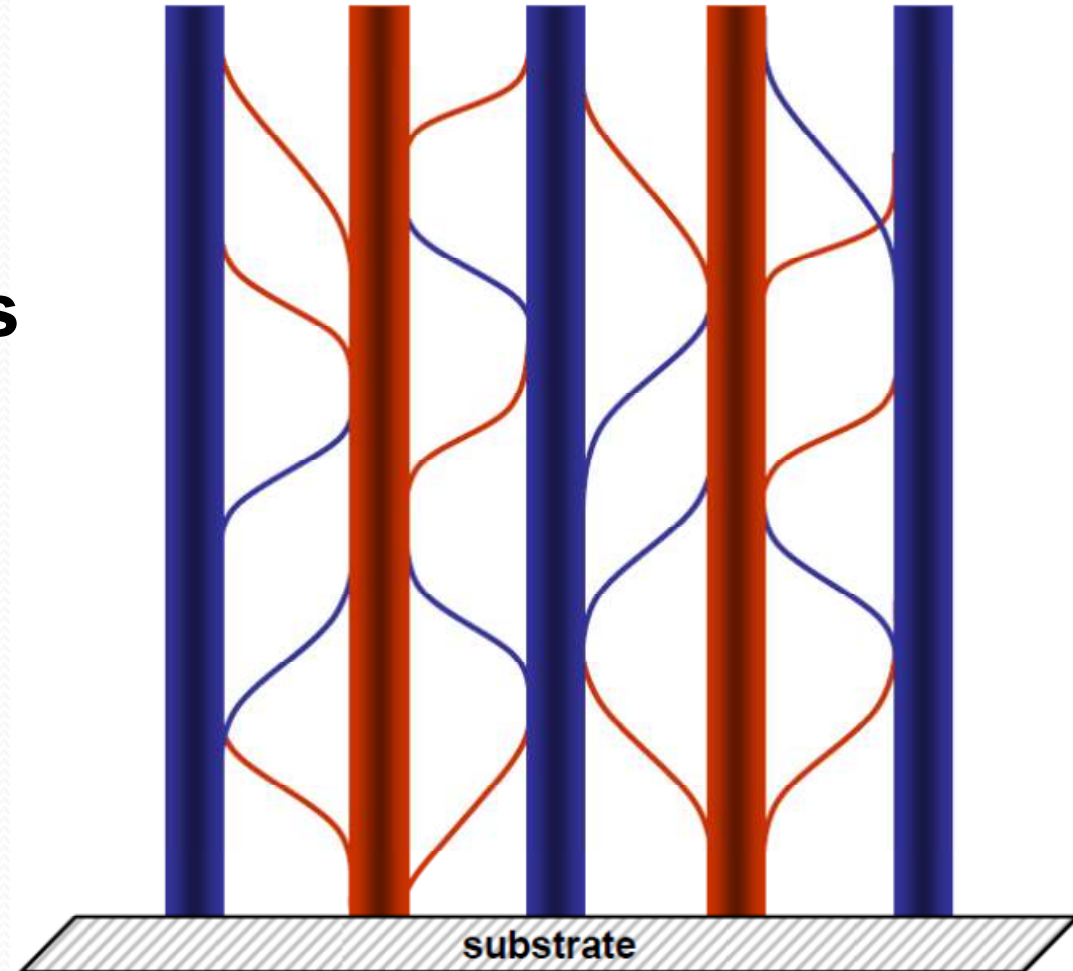
Date : 14 Oct 2005
Time : 15:04:47

Modelagem de nanoestruturas com Física Básica

Formação de Fios e de Nanotubos de Carbono

big bundles are connected between each other with small bundles

Mecanismo de formação das sheets



A. A. Kuznetsov, **Alexandre F. Fonseca**, R. H. Baughman and A. A. Zakhidov
Structural Model for Dry-Drawing of Sheets and Yarns from Carbon

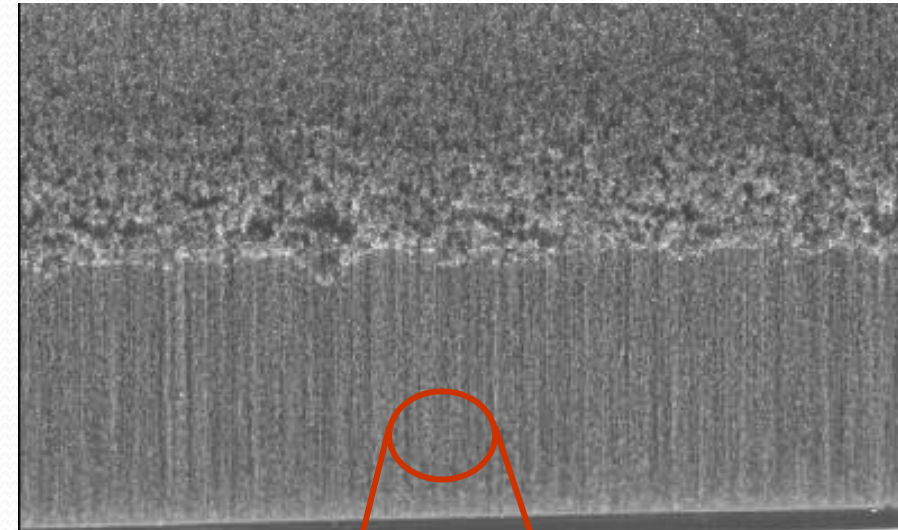
Nanotube Forests

ACS Nano, 2011, 5 (2), pp 985-993

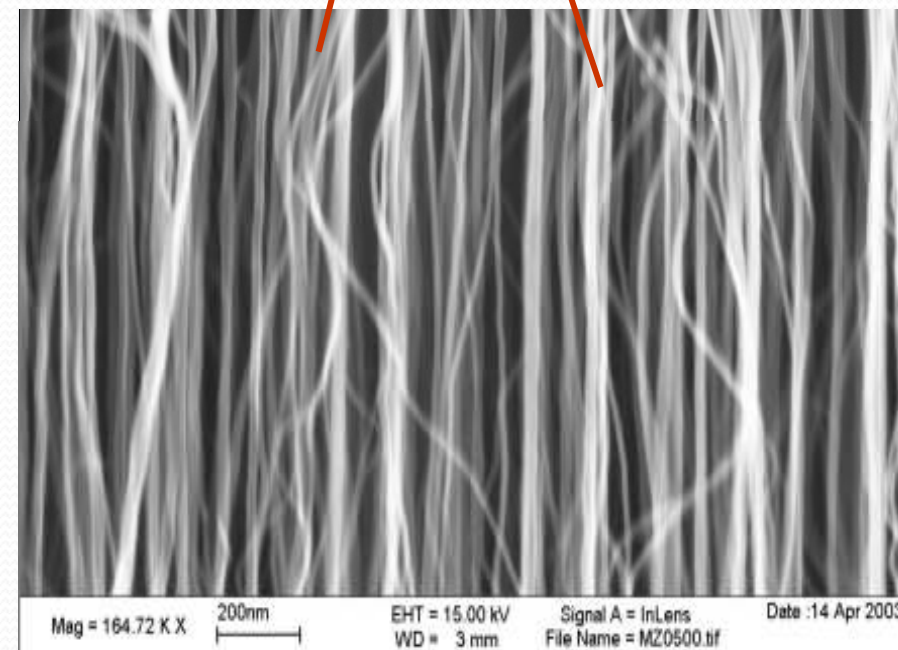
Modelagem de nanoestruturas com Física Básica

Formação de Fios e de Nanotubos de Carbono

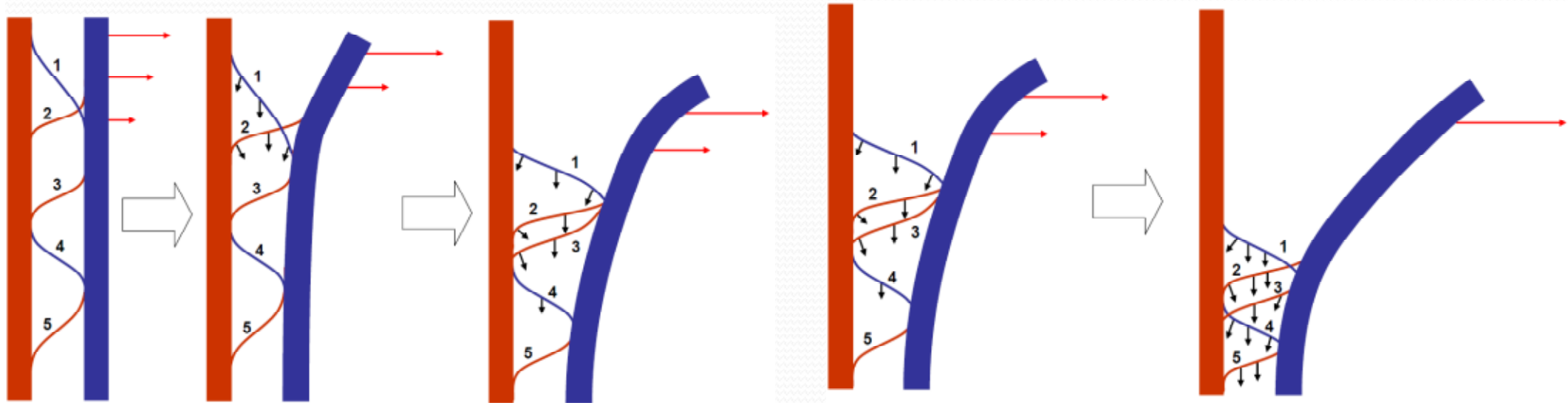
SEM of oriented forests



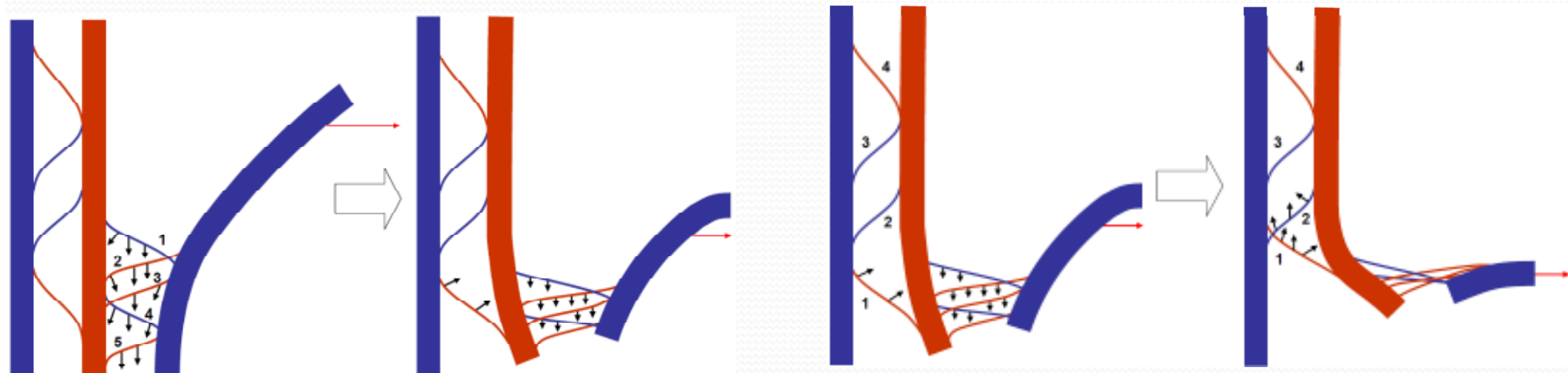
Mag = 600 X 20 μ m EHT = 15.00 kV Signal A = InLens
WD = 4 mm File Name = MZ1284.tif Date: 27 Sep 2003
Time: 19:06:02



Esquema do processo de “pulling out”



Mas que forças estariam atuando? Como **encaixar** isso no modelo?



Forças entre conexões e big bundles

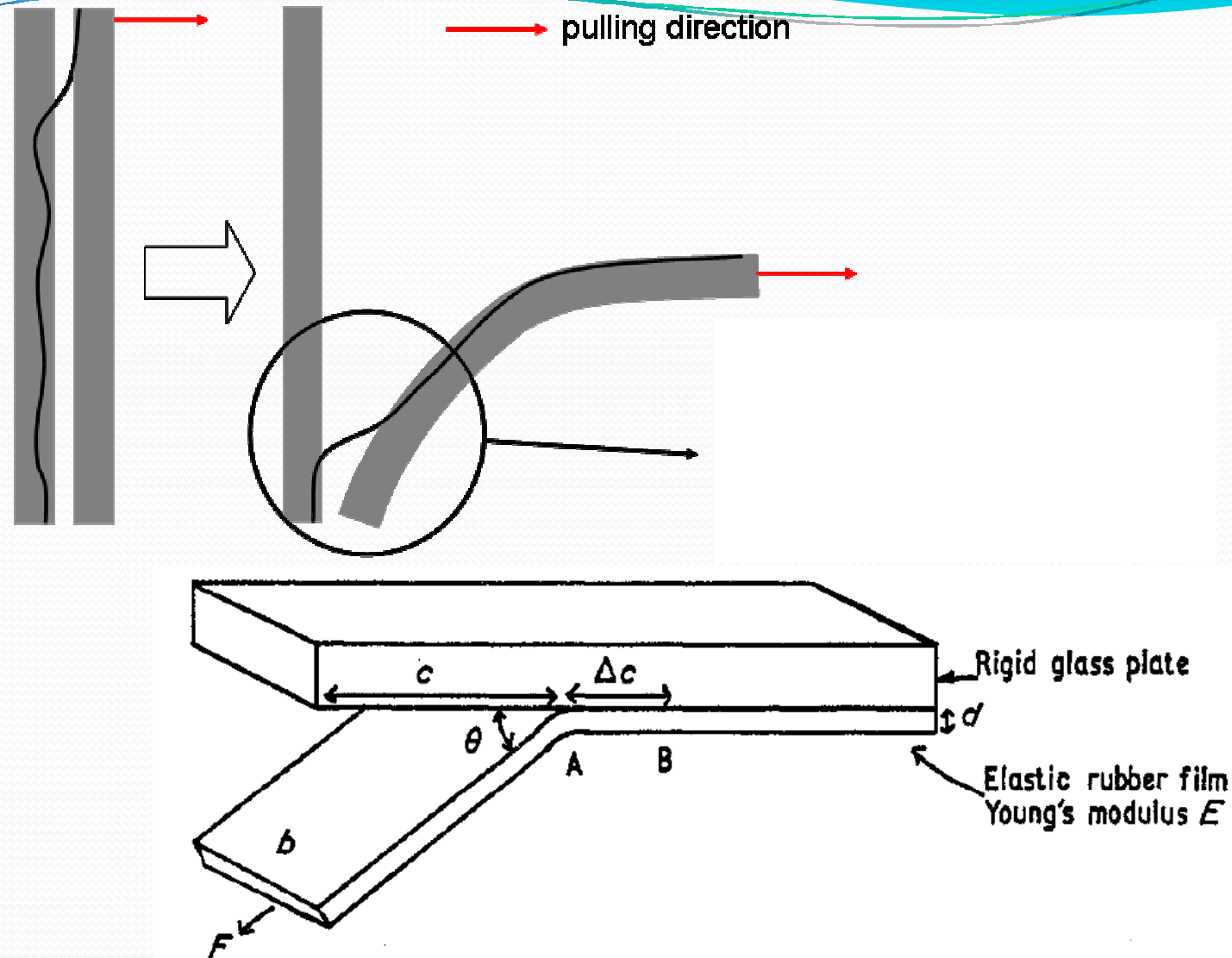
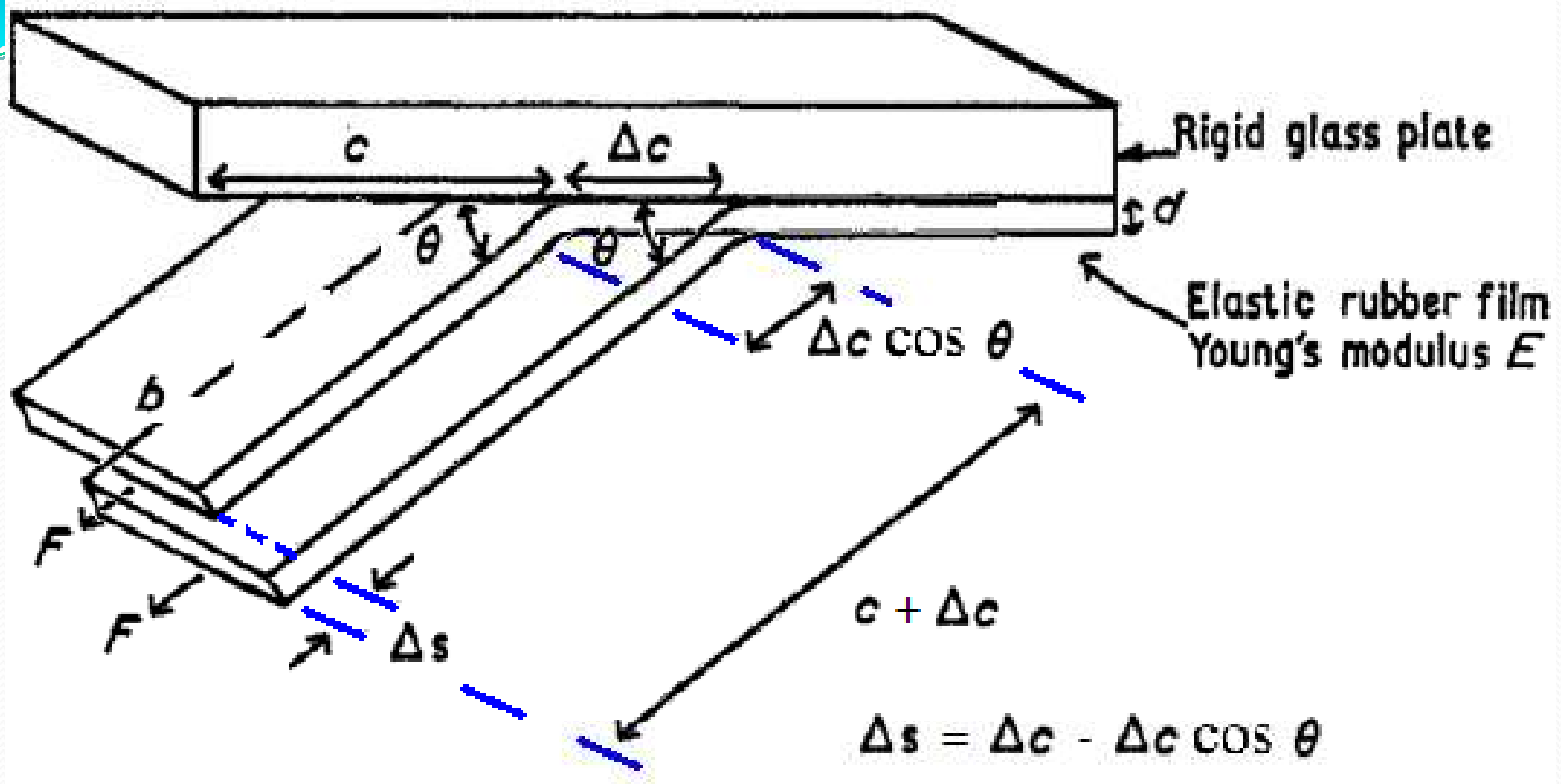


Figure 1. Elastic film peeling from a rigid substrate.

$$\left(\frac{F}{b}\right)(1 - \cos \theta) - R = 0.$$

K. Kendall, J. Phys. D: Appl. Phys. **8**, 1449 (1975).

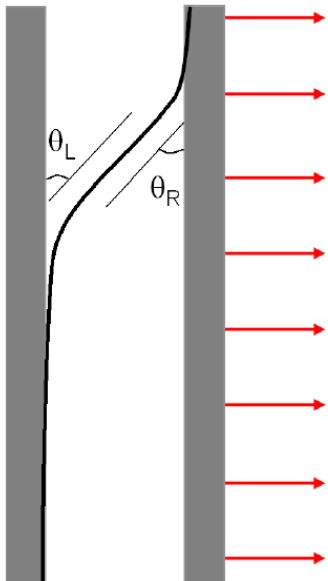
Forças entre conexões e big bundles



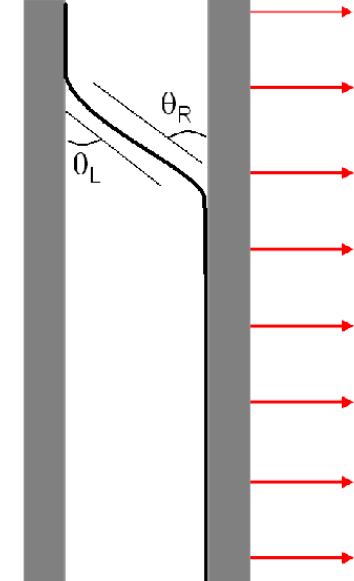
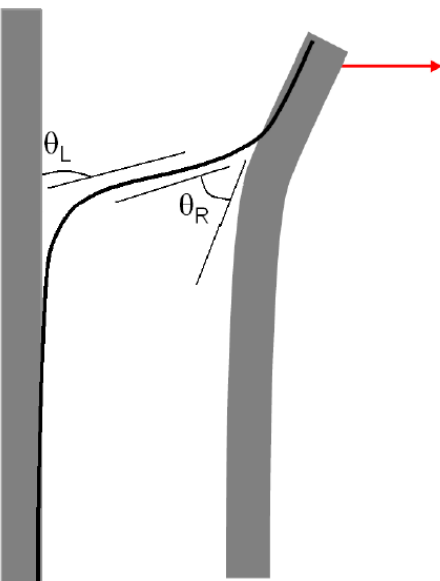
$$\left(\frac{F}{b}\right) (1 - \cos \theta) - R = 0.$$

K. Kendall, J. Phys. D: Appl. Phys. 8, 1449 (1975).

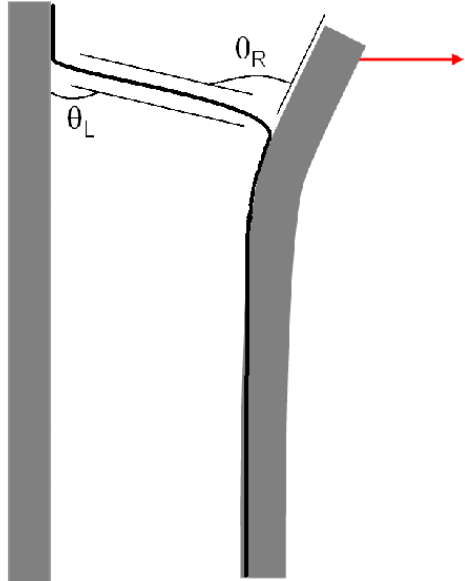
Forças entre conexões e big bundles



Case (1)



Case (2)



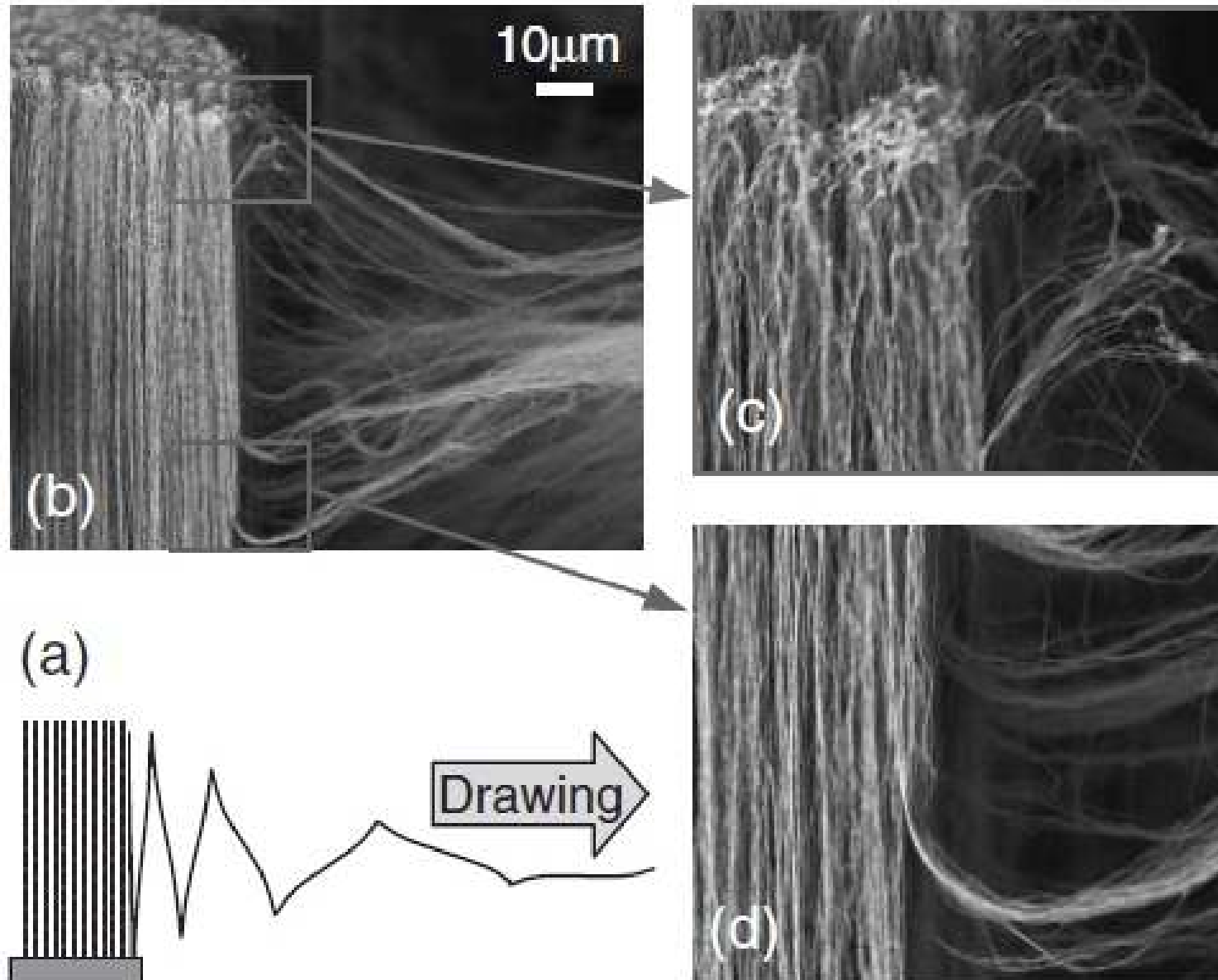
“Unzipping” and bending of the big bundles

Synthesis, Nanoprocessing, and Yarn Application of Carbon Nanotubes

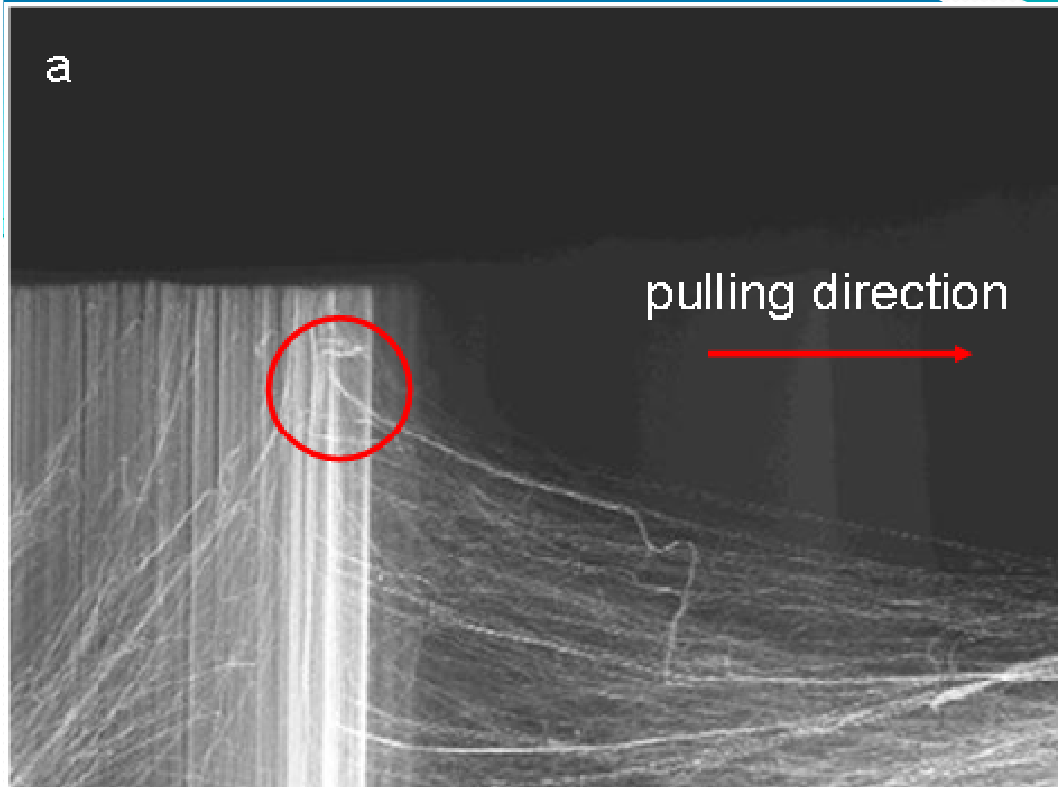
Yoshikazu NAKAYAMA^{1,2}

Osaka University, Suita, Osaka 565-0871, Japan

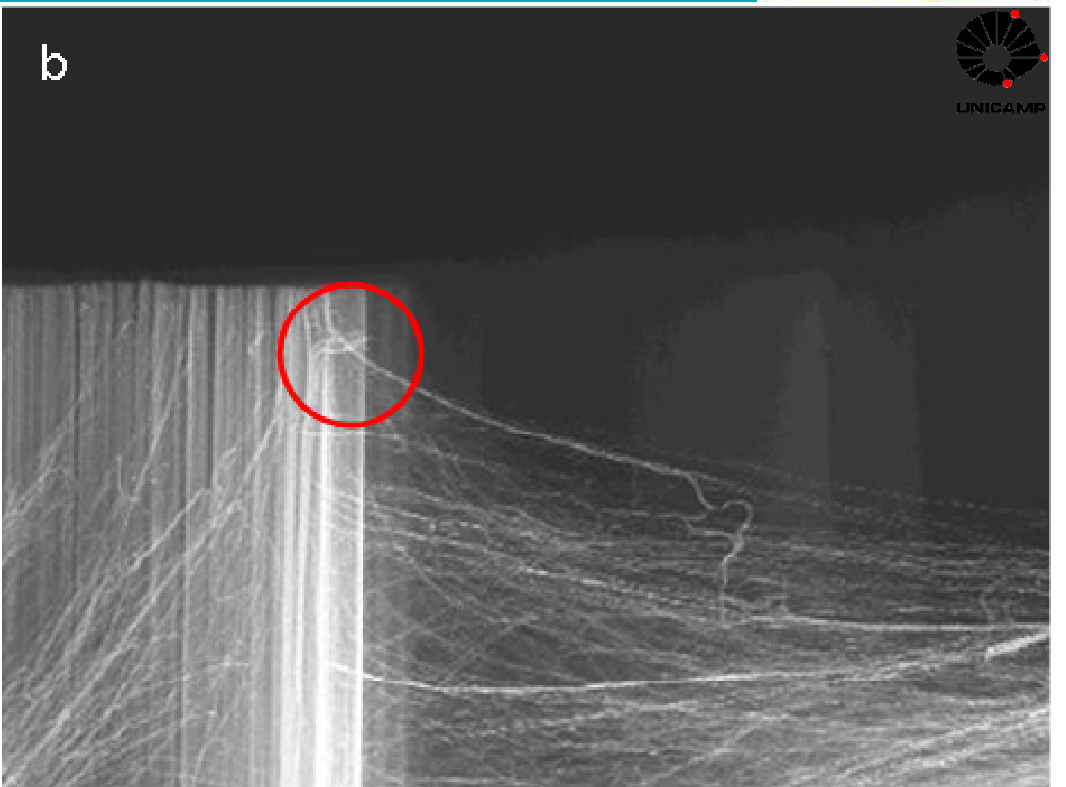
Japanese Journal of Applied Physics
Vol. 47, No. 10, 2008, pp. 8149–8156



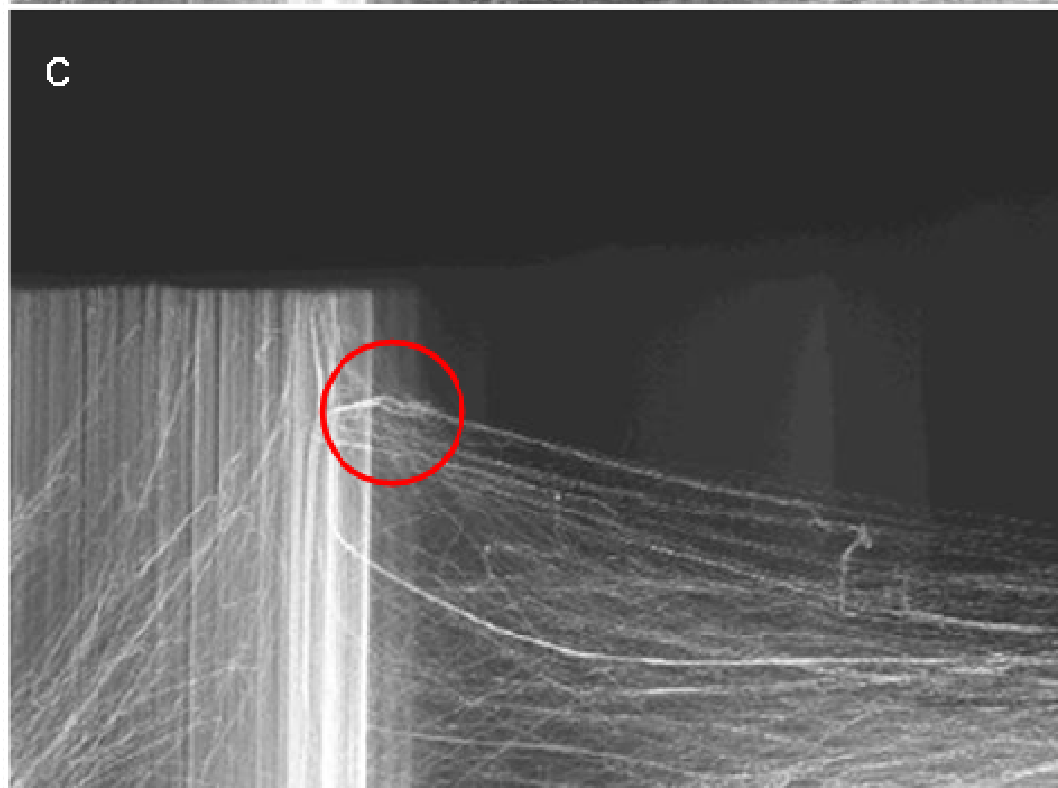
a



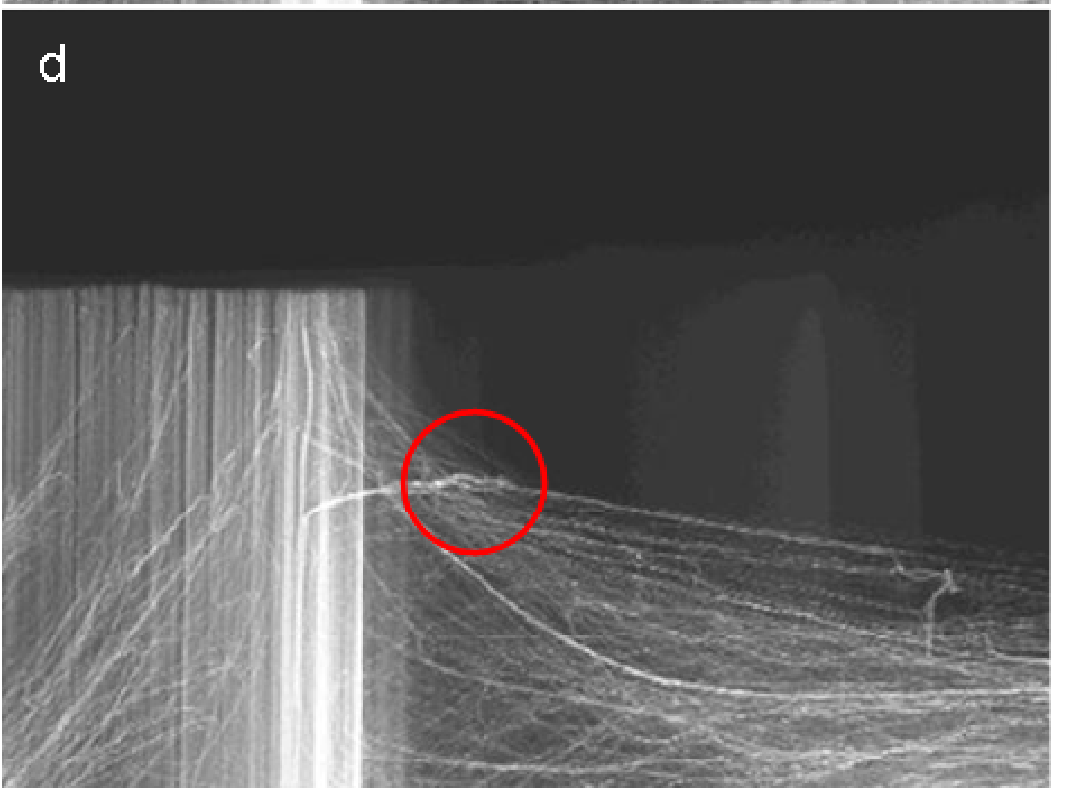
b



c



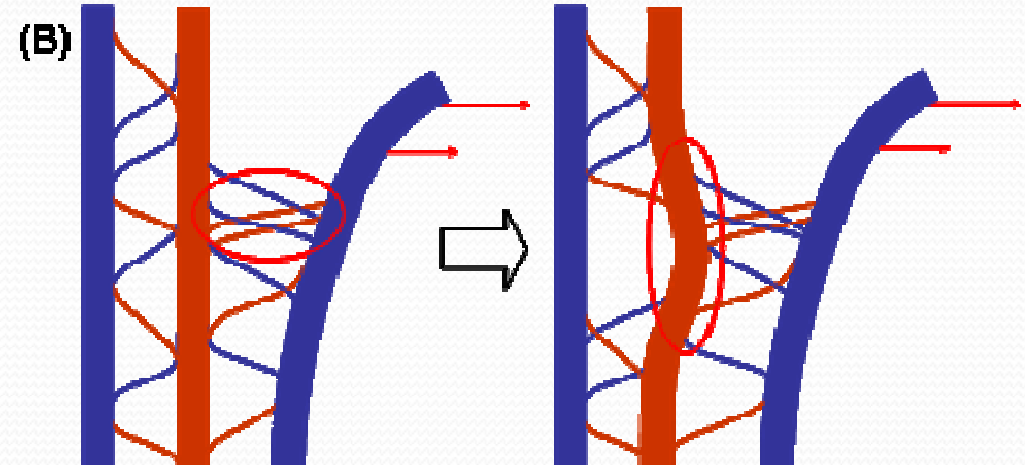
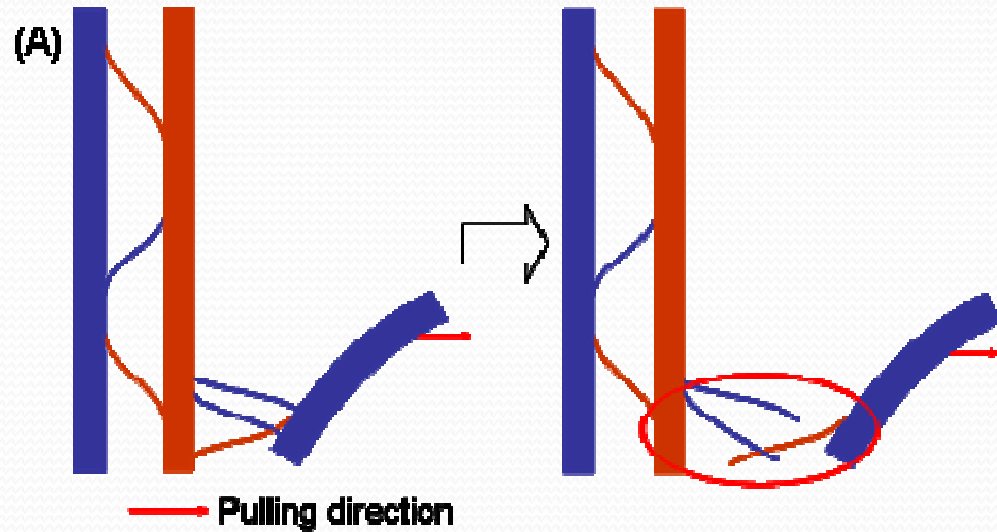
d

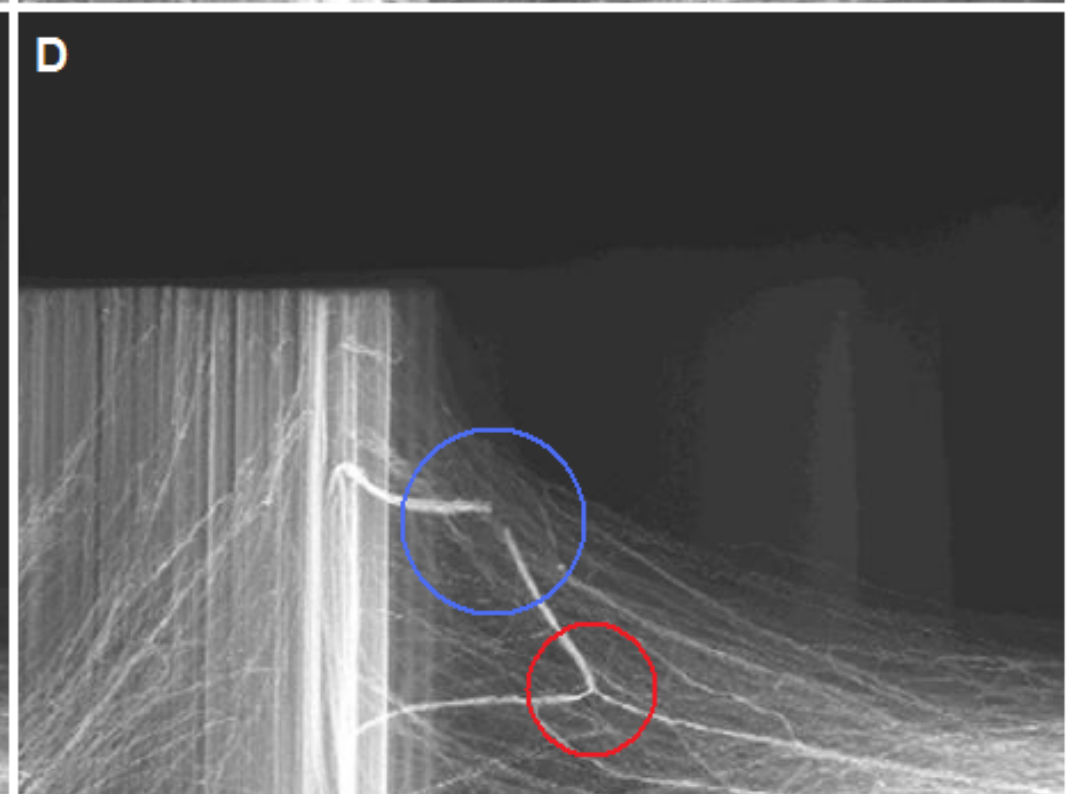
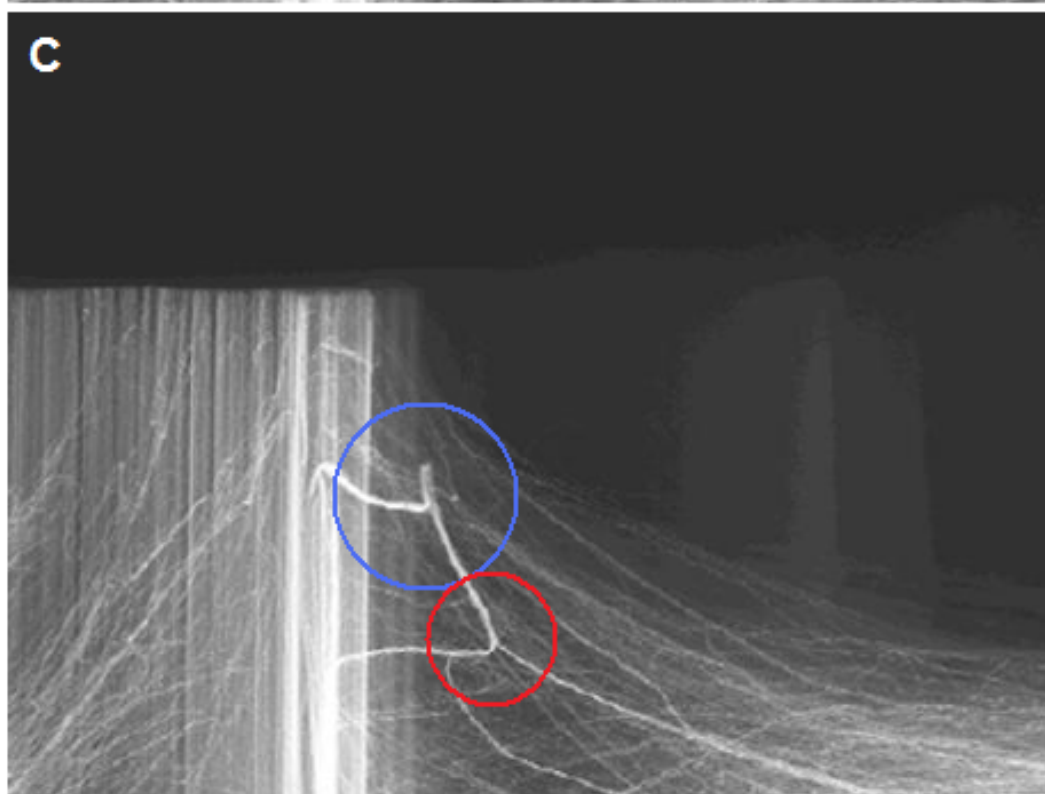
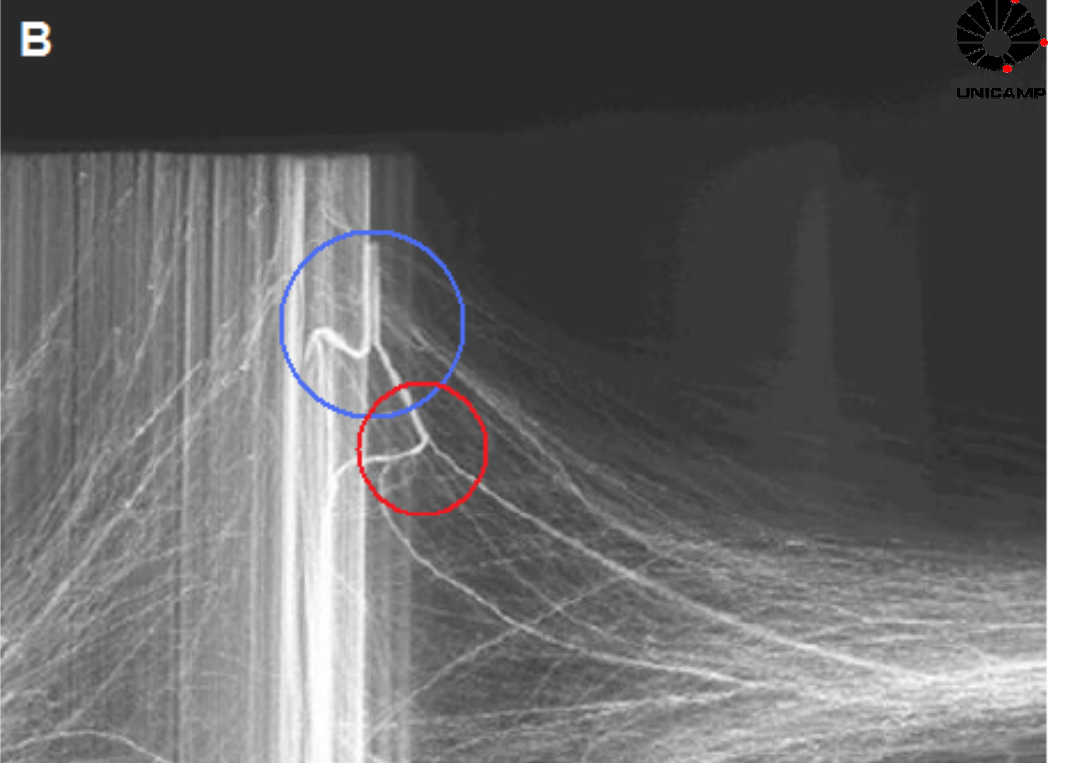
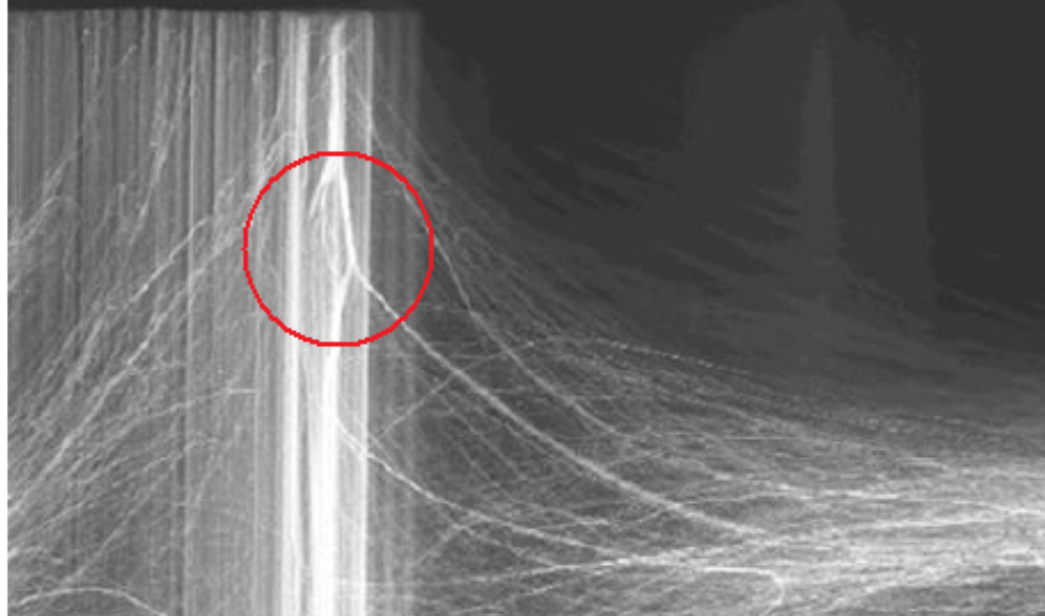


Modelagem de nanoestruturas com Física Básica

Formação de Fios e de Nanotubos de Carbono

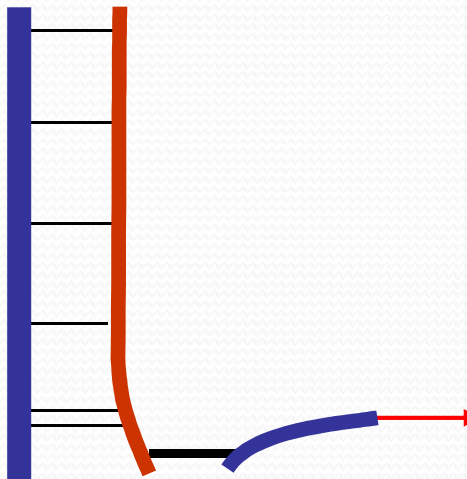
Efeitos da concentração BAIXA e ELEVADA de conexões.





Mínima and Máxima alturas da Floresta de CNTs: L_{MIN} and L_{MAX}

Smallest length: L_{MIN}



$$f_{\text{MIN}} \leftrightarrow L_{\text{MIN}}$$

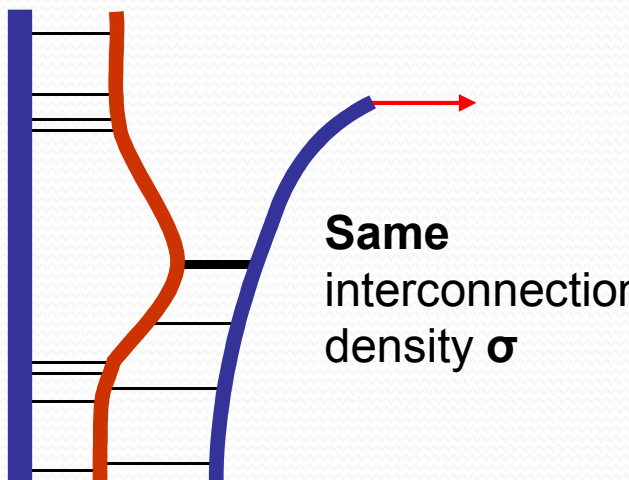
$$f_{\text{MIN}} = N_{\text{MIN}} * f_1$$

$$f_{\text{MIDDLE}} \leftrightarrow L_{\text{MAX}}$$

$$f_{\text{MIDDLE}} \sim 2N_{\text{MIN}} * f_1$$

Using $\sigma = N_{\text{MIN}} / L_{\text{MIN}}$ → $L_{\text{MIN}} = (f_{\text{MIN}} / f_1) * (1/\sigma)$

Largest length: L_{MAX}



f_1 – força entre “big
Bundle” e interconexões

Considerando $\sigma = N_{\text{MAX}} / L_{\text{MAX}}$

$$L_{\text{MAX}} \leftrightarrow f_{\text{MIDDLE}} \sim 2N_{\text{MIN}} * f_1$$

$$\text{Então, } N_{\text{MAX}} = 2 * (2N_{\text{MIN}}) !$$

e, portanto: $L_{\text{MAX}} = 4 L_{\text{MIN}}$

Mínima and Máxima alturas da Floresta de CNTs: L_{MIN} and L_{MAX}

$$r \equiv L_{\text{max}} / L_{\text{min}}$$

NanoTech CNT forests:

$$r \sim 4$$



Nano Lett. 8, 700 (2008)

{

$$r \sim 5.1$$

$$r \sim 3.4$$

$$r \sim 3.5$$



Carbon 48, 2855 (2010):

NANO 5, 31 (2010):

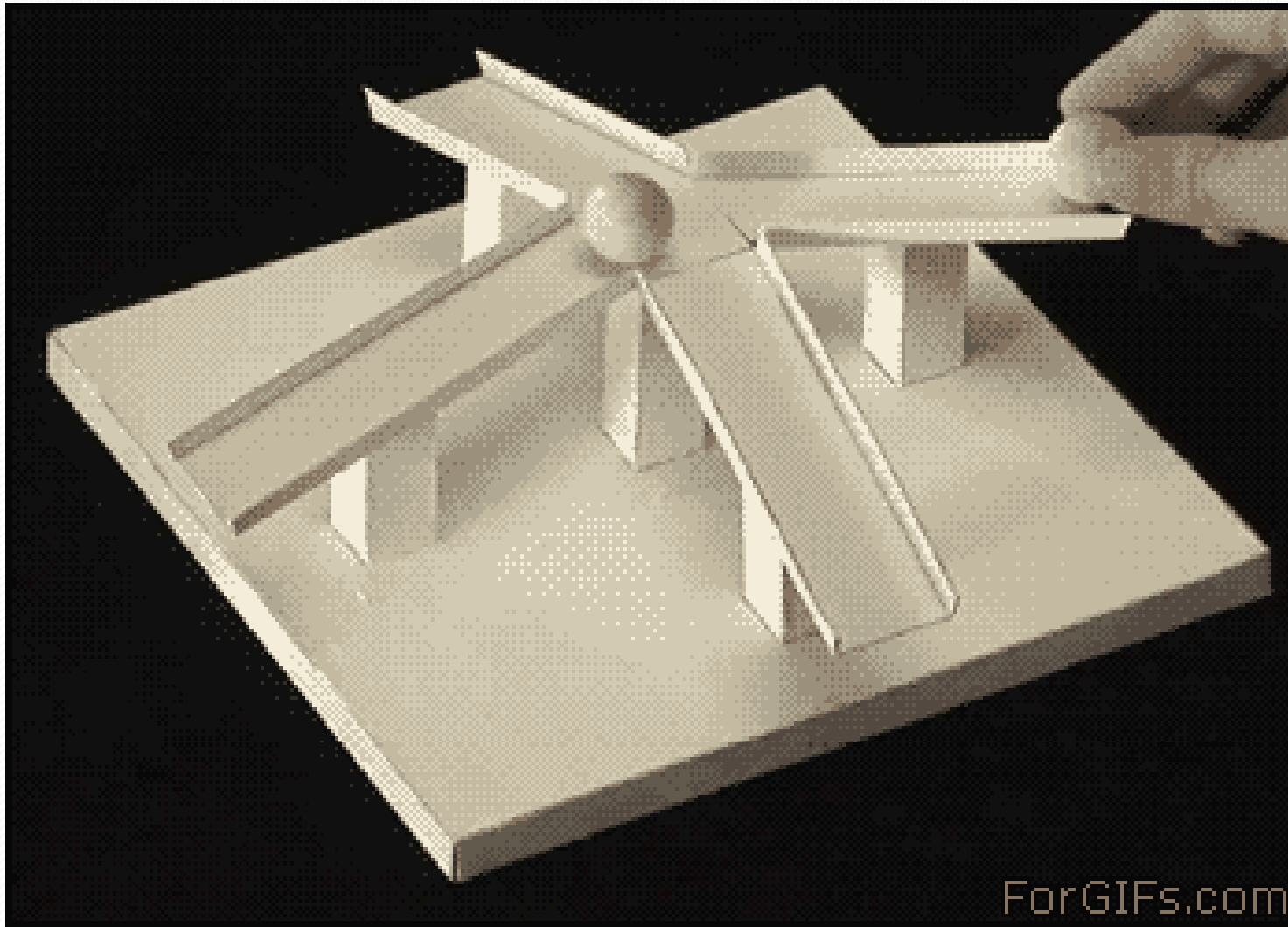
$$r \sim 8.8$$



Não se pode ganhar todas!

Comentários

Muitos problemas requerem o *ponto de vista certo!*



ForGIFs.com

O segredo do *manto da invisibilidade*

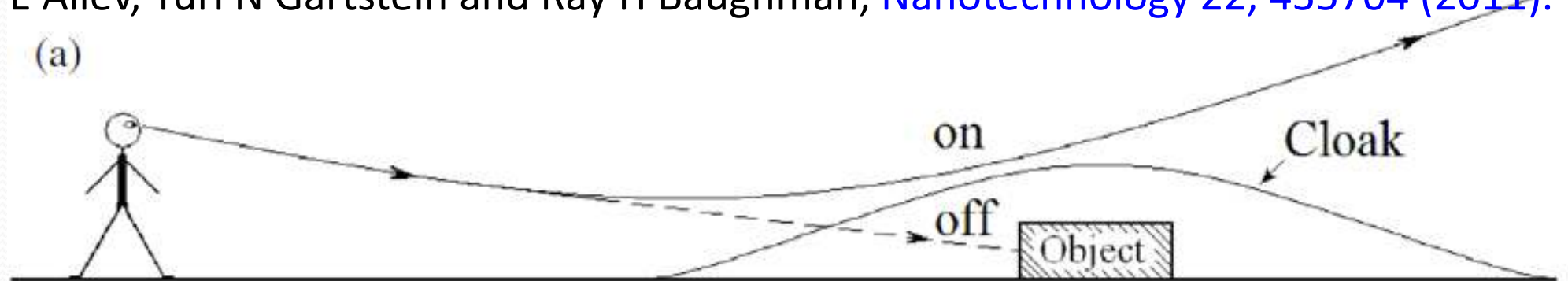


O segredo do *manto da invisibilidade*



Ali E Aliev, Yuri N Gartstein and Ray H Baughman, [Nanotechnology 22, 435704 \(2011\)](#).

(a)

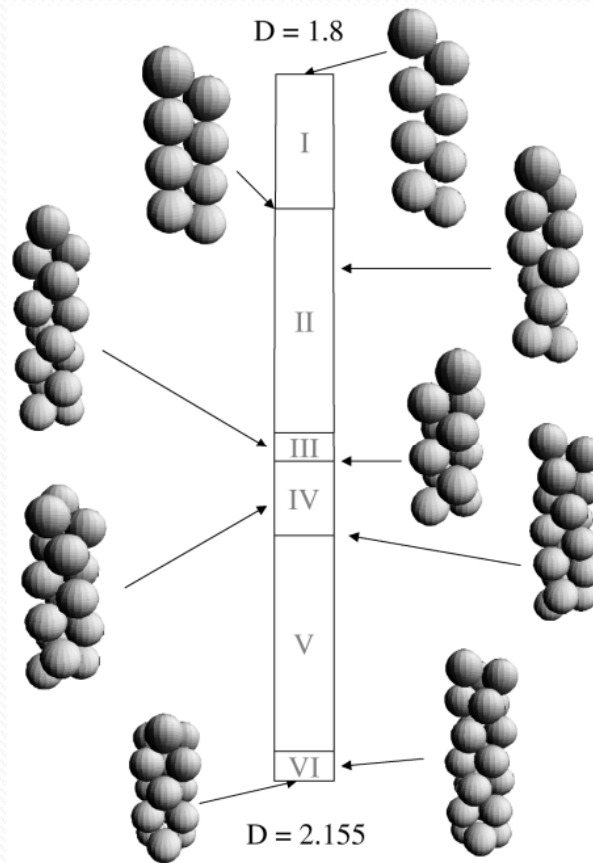




Ideias e Projetos

Investigating Chirality in Closely Packed Confined Spheres

Vivek Menon, Mitu Bhattachary, Srishti Goel, and Peter Cha



$$\rho_n = \dots$$
$$z_n = 1$$
$$\phi_n = 1$$



Pickett et.al, PRL 85 p. 3652 (2000)



Linear thermal expansion of mono, bi and trilayer – graphene

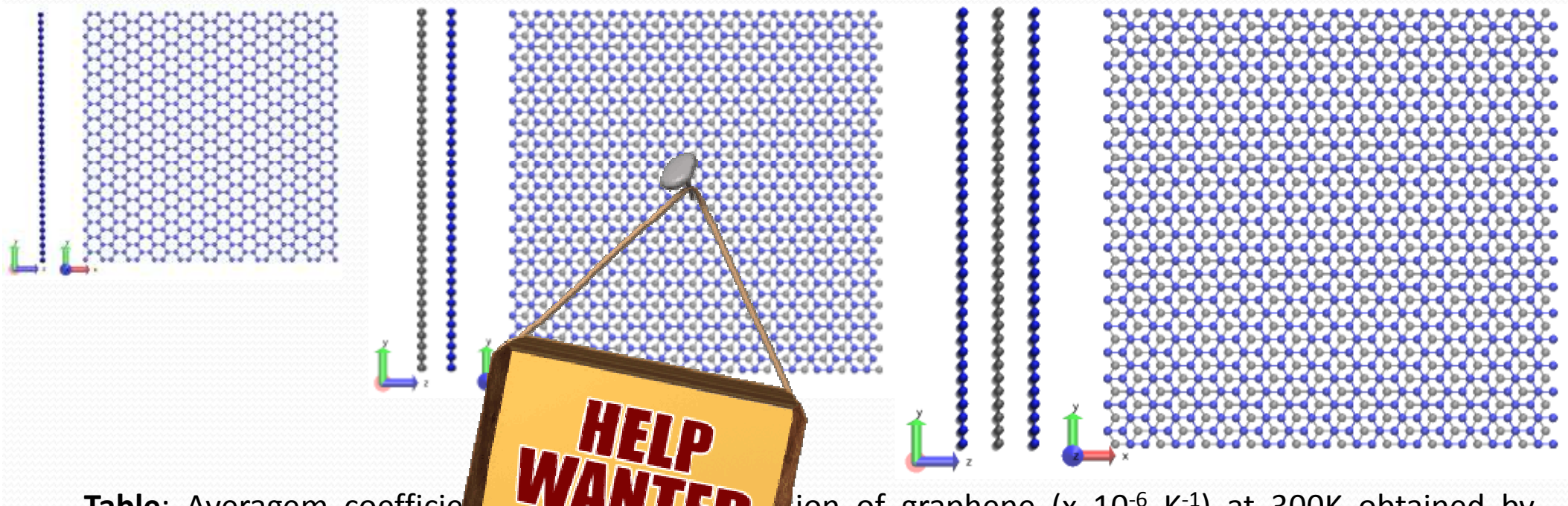


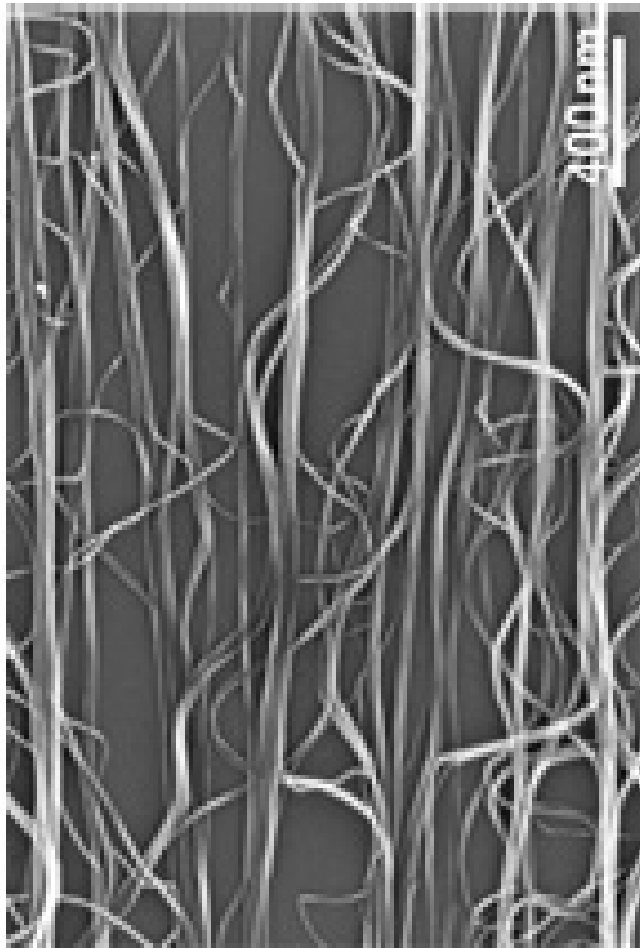
Table: Average linear thermal expansion coefficient of graphene ($\times 10^{-6} \text{ K}^{-1}$) at 300K obtained by different methods for computation.

Experimental [1]	DFT [2]	REBO* [3]	Our results with REBO
-7	-3.5	-90	-3.8

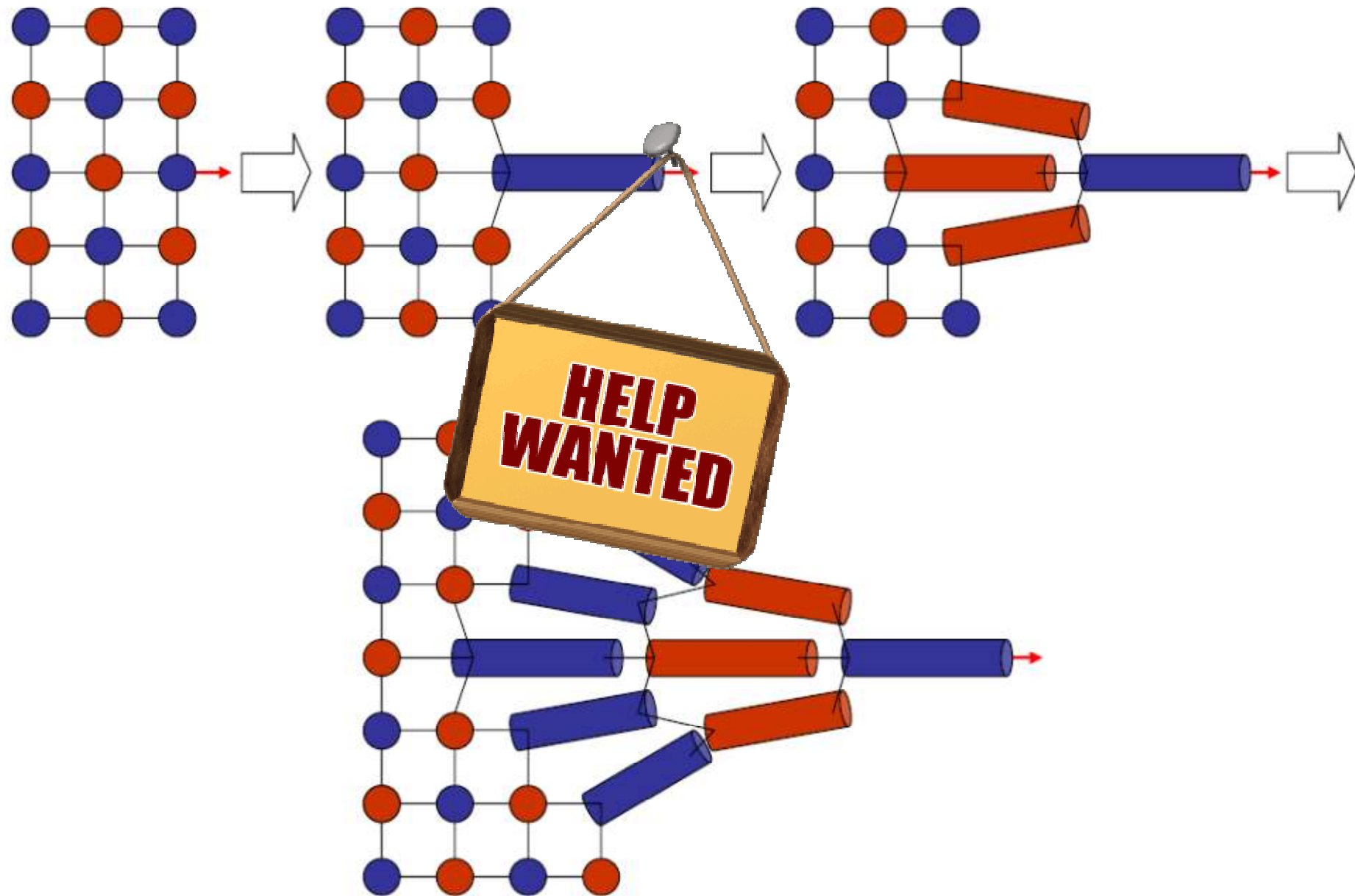
* Strange result.

- [1] W. Bao, F. Miao, Z. Chen, H. Zhang, W. Jang, C. Dames and C. N. Lau, *Nature Nanotechnology* **4**, 462 (2009).
- [2] N. Mounet and N. Marzari, *Physical Review B* **71**, 205214 (2005).
- [3] M. Neek-Amal and F. M. Peeters, *Physical Review B* **83**, 235437 (2011).

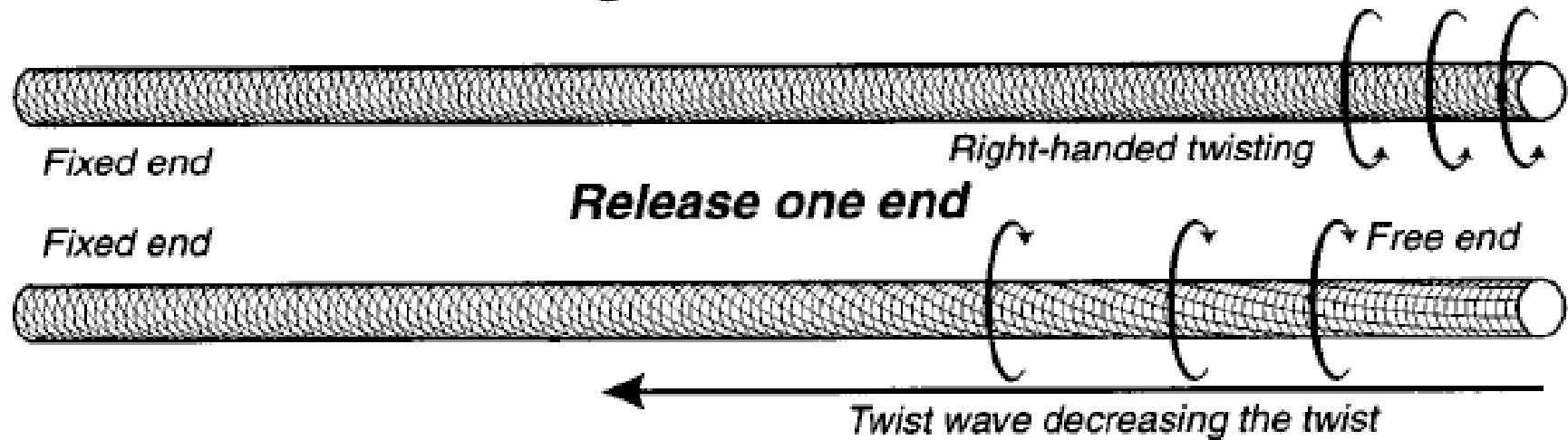
Projetos futuros



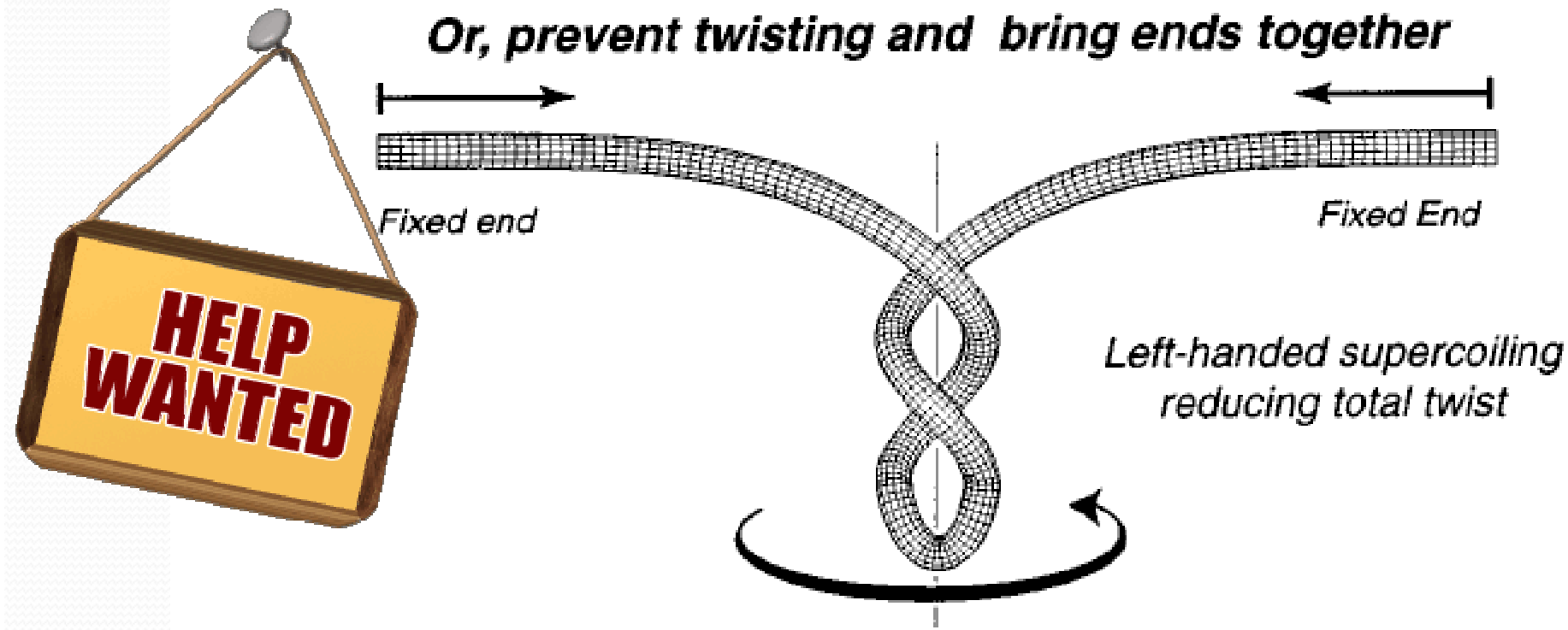
Projetos futuros



Start with a twisted straight rod with zero intrinsic twist density

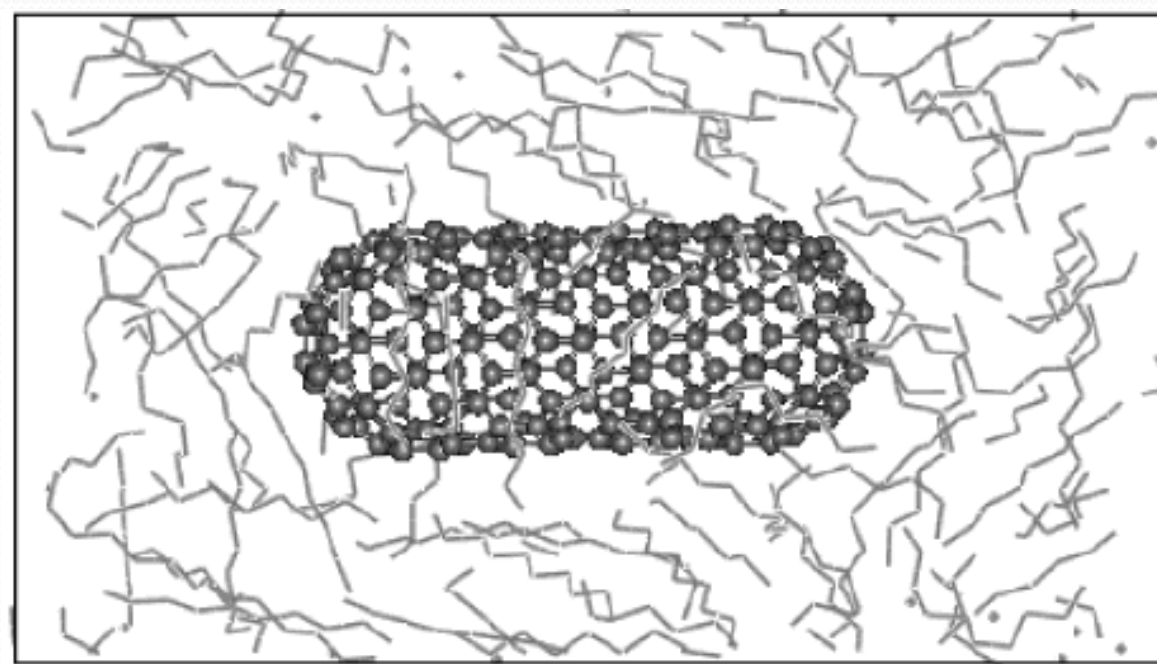


Or, prevent twisting and bring ends together



The Nonlinear Dynamics of Filaments

Projetos futuros





MRS Symp. Proc., 0963-Q20-27 (2007).

$$k^{\text{NORMAL}} > k^{\text{BINORMAL}}$$

Agradecimentos e Colaborações:

Brasil: Prof. Dr. Douglas S. Galvão – IFGW – Unicamp & grupo.
Prof. Dr. Vitor R. Coluci – Faculdade de Tecnologia – Unicamp.
Prof. Dr. Paulo Noronha Lisboa – UNESP/Bauru.
Prof. Dr. Rodrigo Capaz – IF/UFRJ
Prof. Dr. André Muniz – Depto. de Engenharia Química/UFRGS
Profs. DFA – IFGW/UNICAMP.

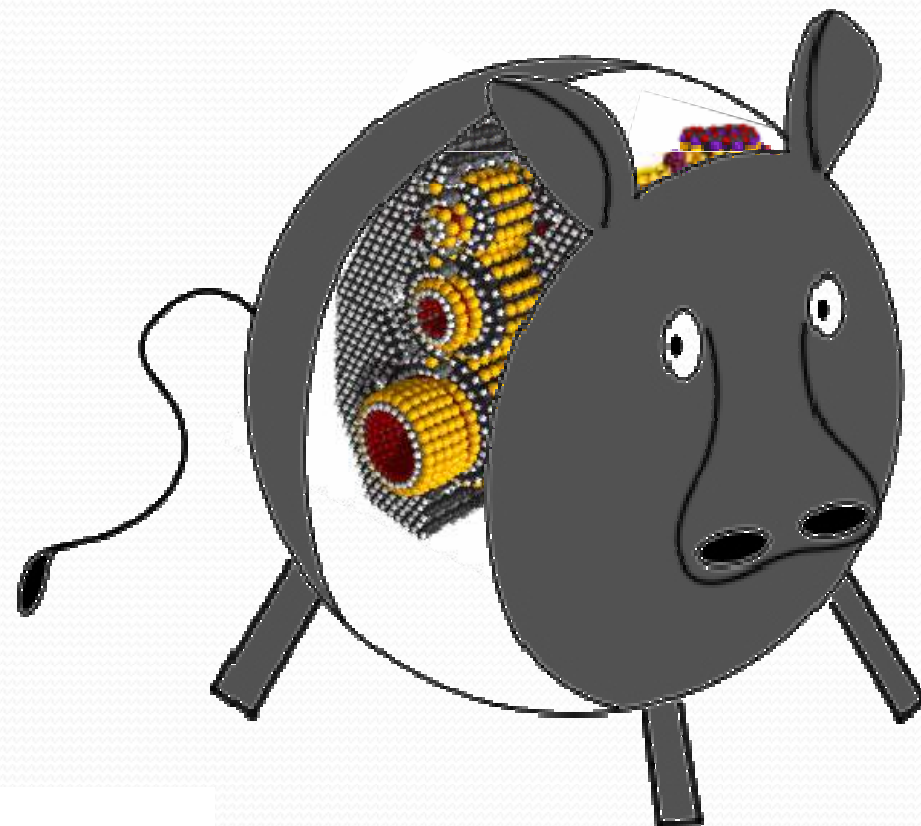
EUA: Prof. Dr. Ray H. Baughman – NanoTech Institute – UTD & grupo.
Prof. Dr. Kyeongjae Cho – Materials Science and Engineering – UTD & group.
Prof. Dr. Susan Sinnot – Materials Science and Engineering – UF & group.

Precisa-se: alunos para projetos de IC e Pós!!



**HELP
WANTED**

Obrigado!



<http://www.ifi.unicamp.br/~afonseca/>